

Der Urknall im Labor

Erforschung von Urknallmaterie mit Schwerionenstoessen

Bad Honnef, April 3-7, 2006

Peter Braun-Munzinger



Inhalt

Urknall

Expansion des Universums

Temperaturentwicklung

Frühe Urknall-Materie

Ausblick

Urknall im Labor

Ultrarelativistische Schwerionenstöße

Quark-Gluon Materie

Resultate der CERN SPS und RHIC

Experimente

Die Zukunft: Alice am LHC

CBM an FAIR

M100 Spiral Galaxie
50 Millionen LJ



Reise zum Urknall

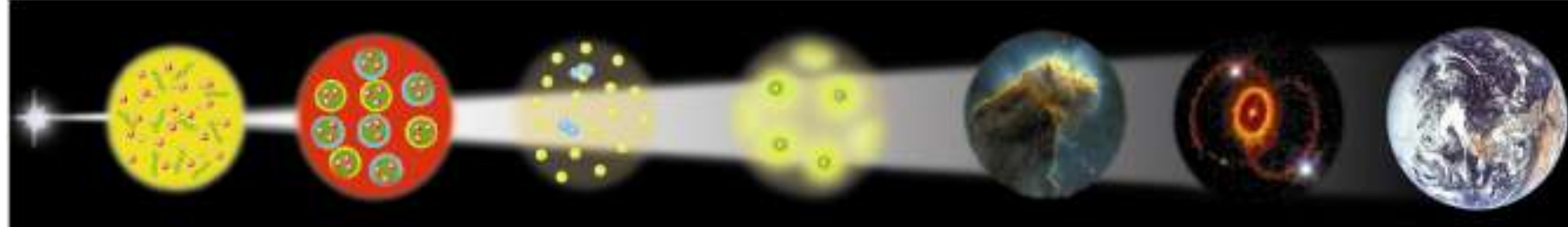
Zurück zum Urknall

1.000 Millionen Jahre
300.000 Jahre
3 Minuten

Natur

Quark-Gluon
Plasma Nukleonen Kerne Atome

Heute

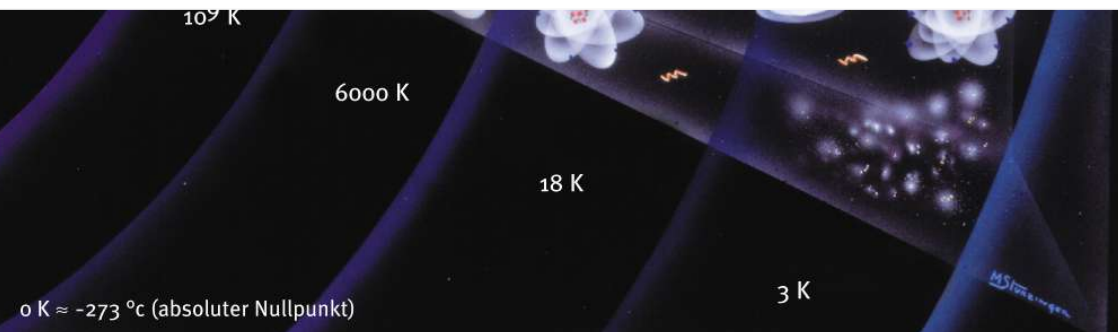


10^{-6} sec 10^{-4} sec 3 min

15 Mil Jahre

Experiment

- Strahlung
- Teilchen
- Schwere Teilchen,
die die schwache
Kraft vermitteln
- Quark
- Anti-Quark
- Elektron
- Positron (Anti-Elektron)
- Proton
- Neutron
- Meson
- Wasserstoff
- Deuterium
- Helium
- Lithium



$0\text{ K} \approx -273\text{ }^\circ\text{C}$ (absoluter Nullpunkt)

Evidenz für den Urknall

- ✓ Hubble Expansion
 - ✓ Kosmische Hintergrundstrahlung
 - ✓ Elementsynthese im frühen Universum
 - ✓ Entstehung von Galaxien
-
- ✓ Erzeugung von **Quark-Gluon Materie** im Labor

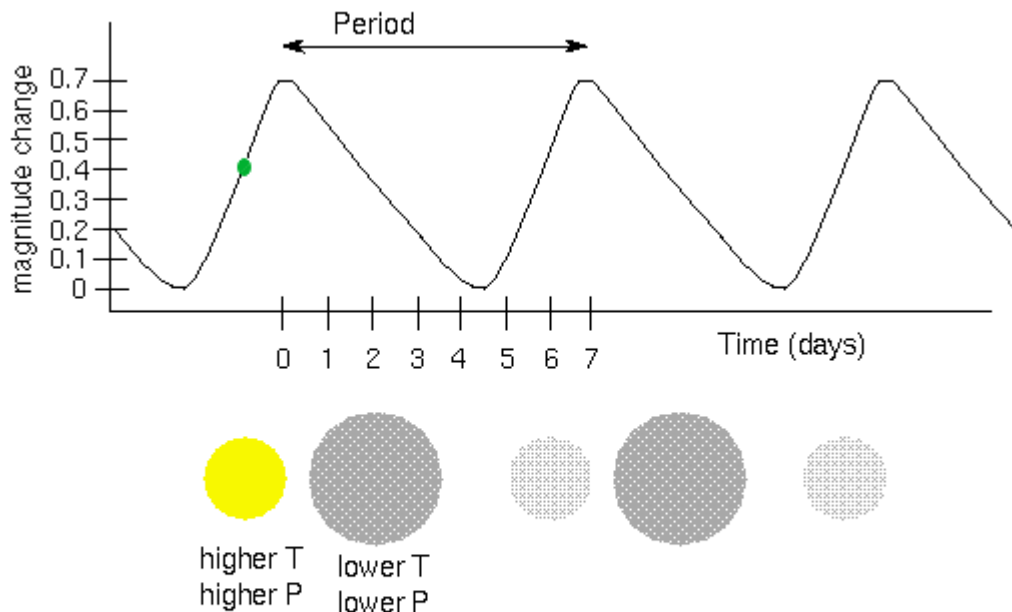
Gibt es Evidenz für die Expansion des Universums?

Messung der **Fluchtgeschwindigkeit** von Sternen
über
die Rotverschiebung der Spektrallinien

Messung der **Distanz**
über
die Helligkeit variabler Sterne (Cepheiden)
und spezieller Supernovae

Physics of Cepheid Variables

- The variation in the luminosity of Cepheids is caused by variations of surface temperature of the star as well as radius.

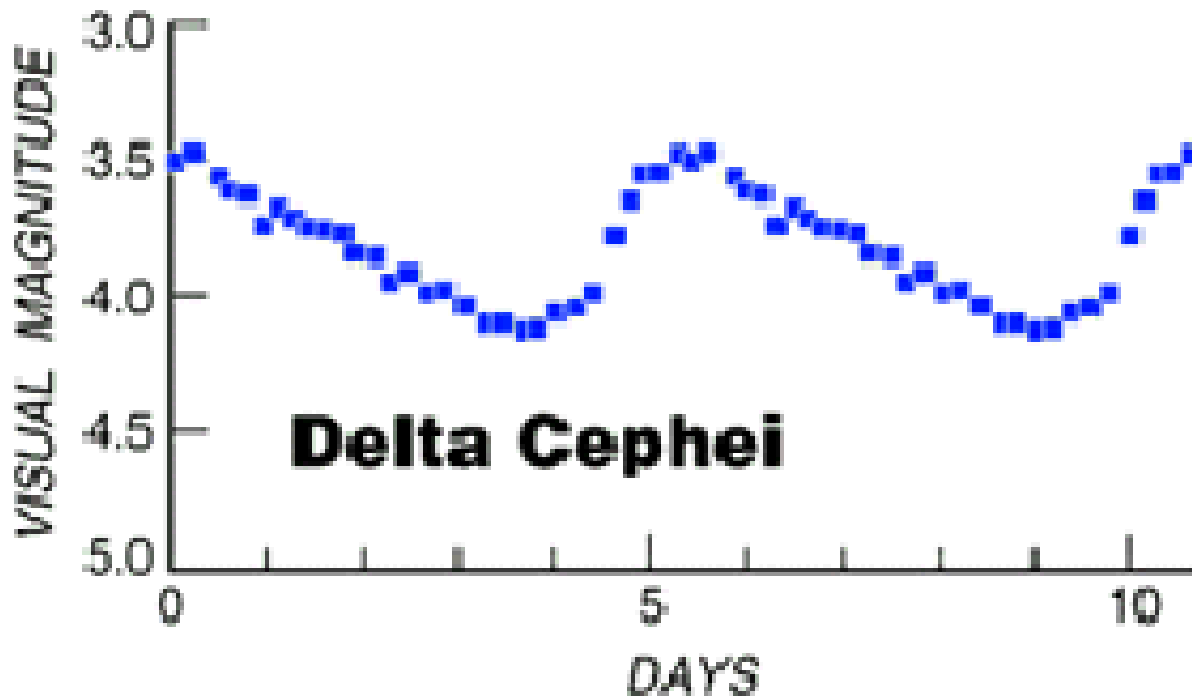


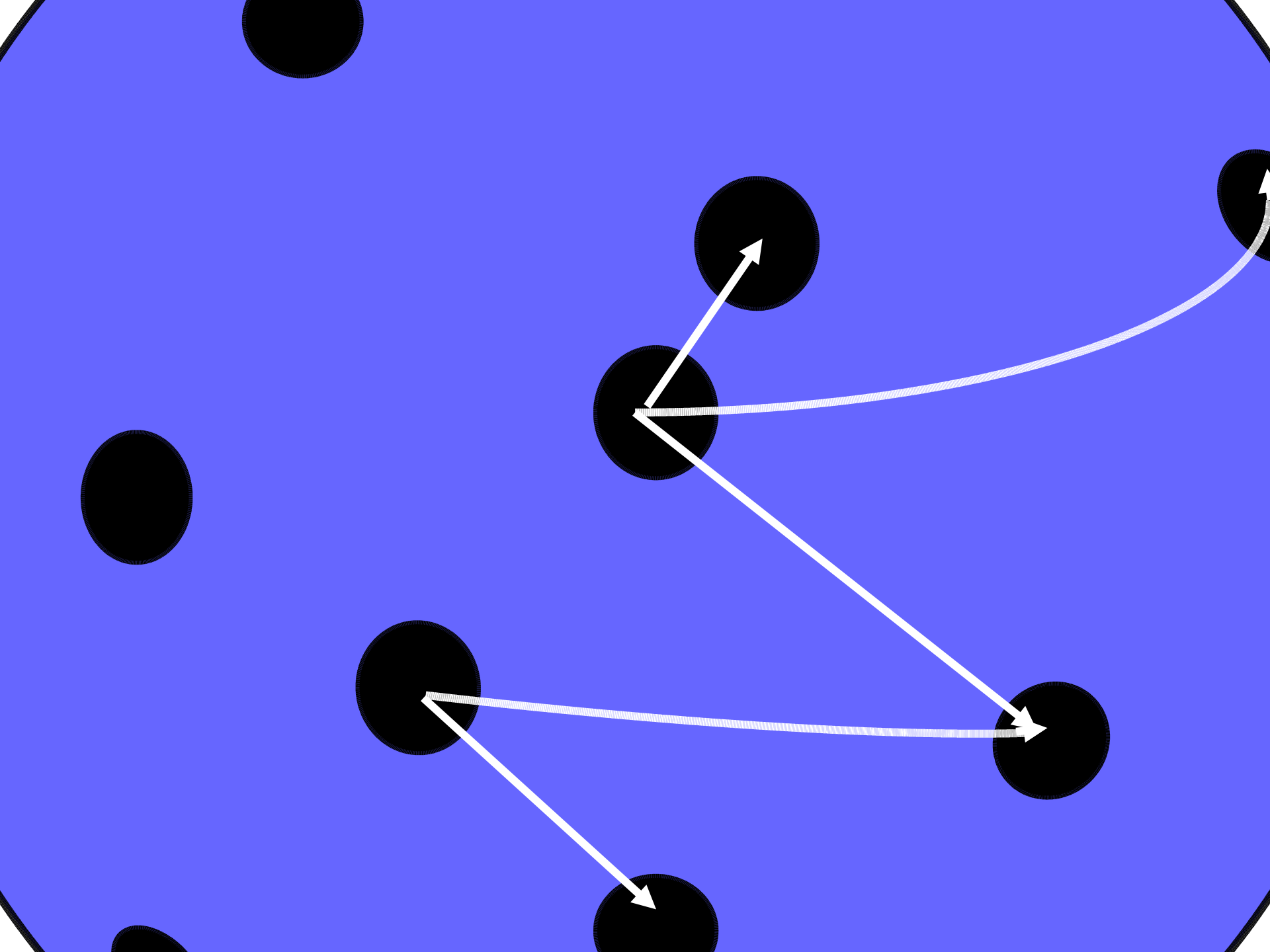
Cepheid variables: outward pressure (P) and inward gravity compression are out of sync, so star changes size and temperature: it **pulsates**.

RR-Lyrae variables are smaller and have pulsation periods of less than 24 hours. Also, their light curve looks different from the Cepheid light curve.

History of Cepheid Variables

- Cepheid Variable stars are named after Delta Cephei, which was the first star that astronomer's noticed changed in brightness over a period of about 5 days.





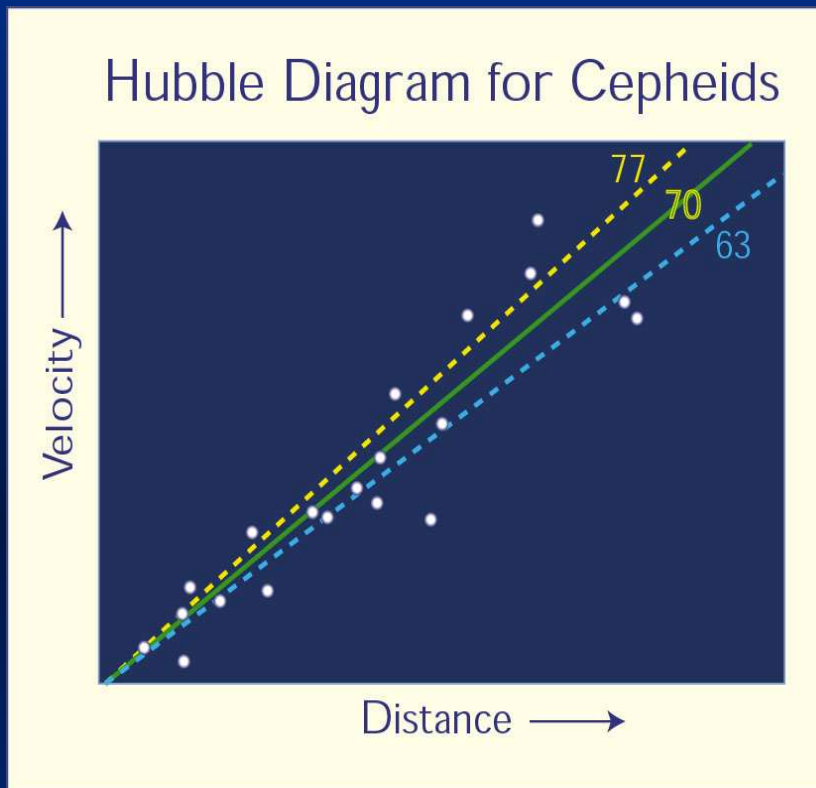
NGC 4603



Die am weitesten entfernte Galaxie in der man Cepheiden beobachtet hat.

Diese veränderlichen Sterne geben ein Mass für die Expansionsgeschwindigkeit des Universums.

Expansion des Universums



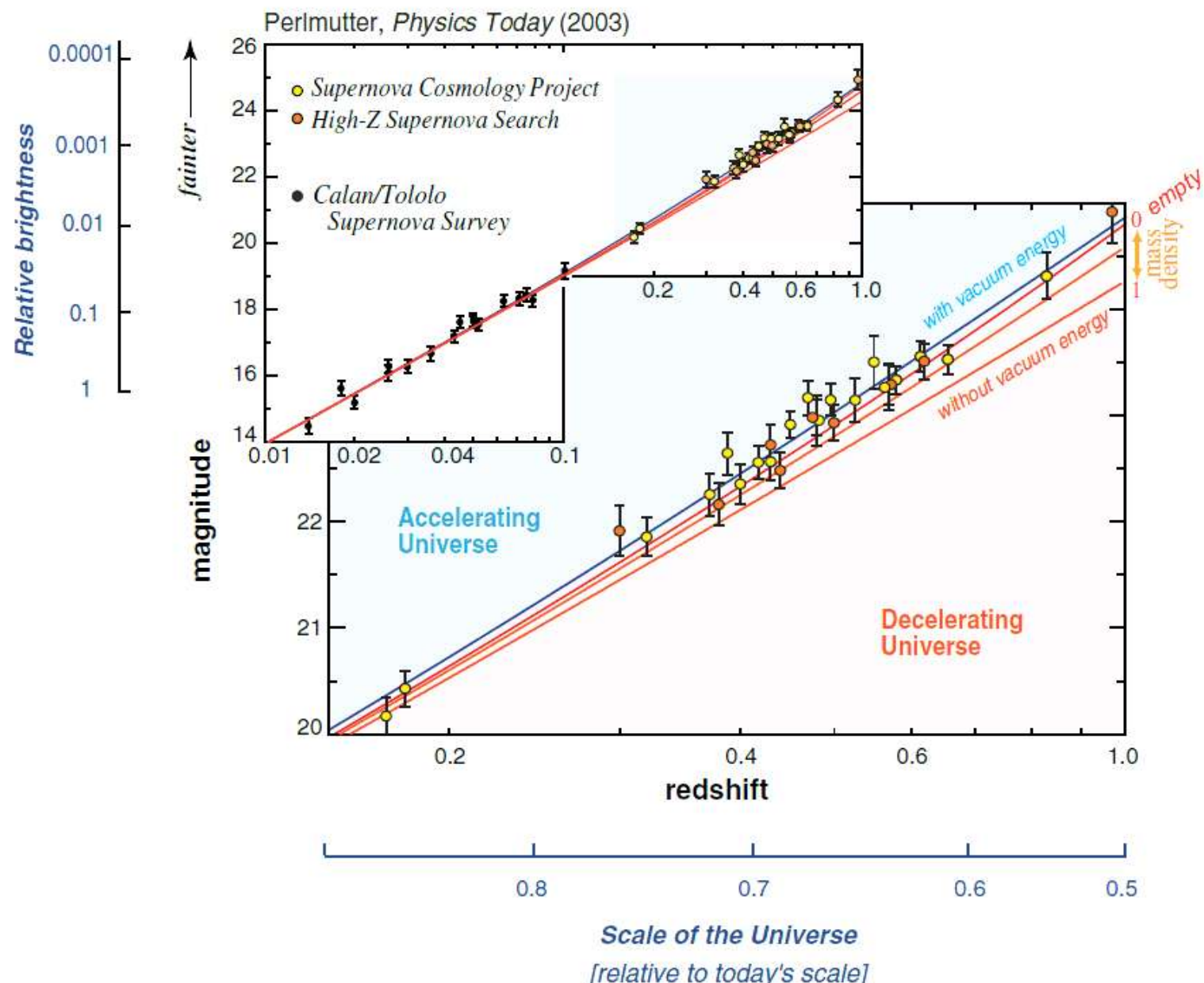
$$V = H \cdot D$$

E. Hubble, 1924

$$\langle H \rangle = 70 \text{ km/s Mpc} = 1/15 \cdot 10^9 \text{ Jahre}$$

Sterne und Galaxien bewegen sich von der Erde weg mit umso grösserer Geschwindigkeit (V) je grösser ihr Abstand (D) ist

Type Ia Supernovae



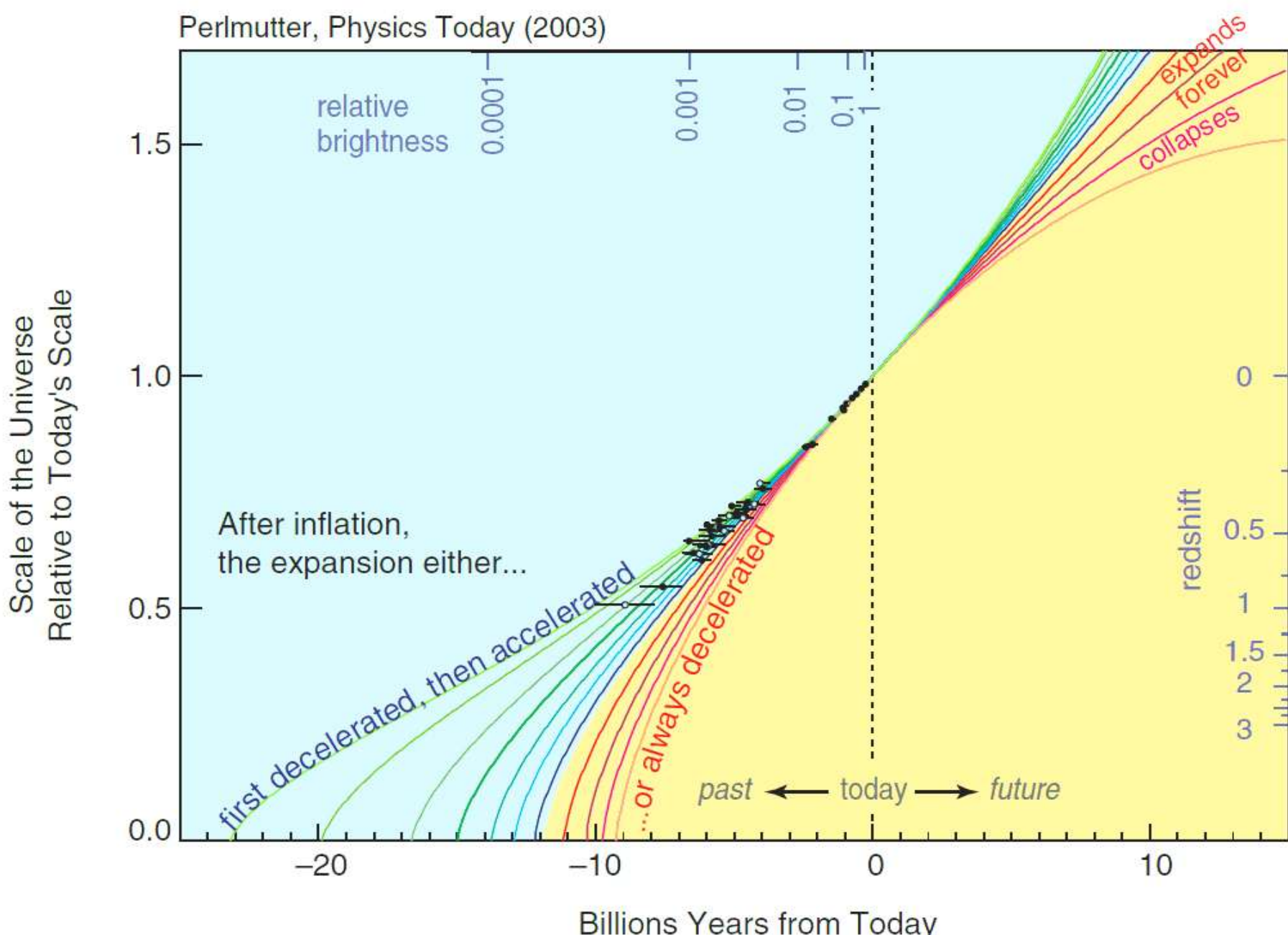
Urknall

Konstante Expansion impliziert, dass das Universum vor ca 15 Milliarden Jahren in einem Punkt startete.

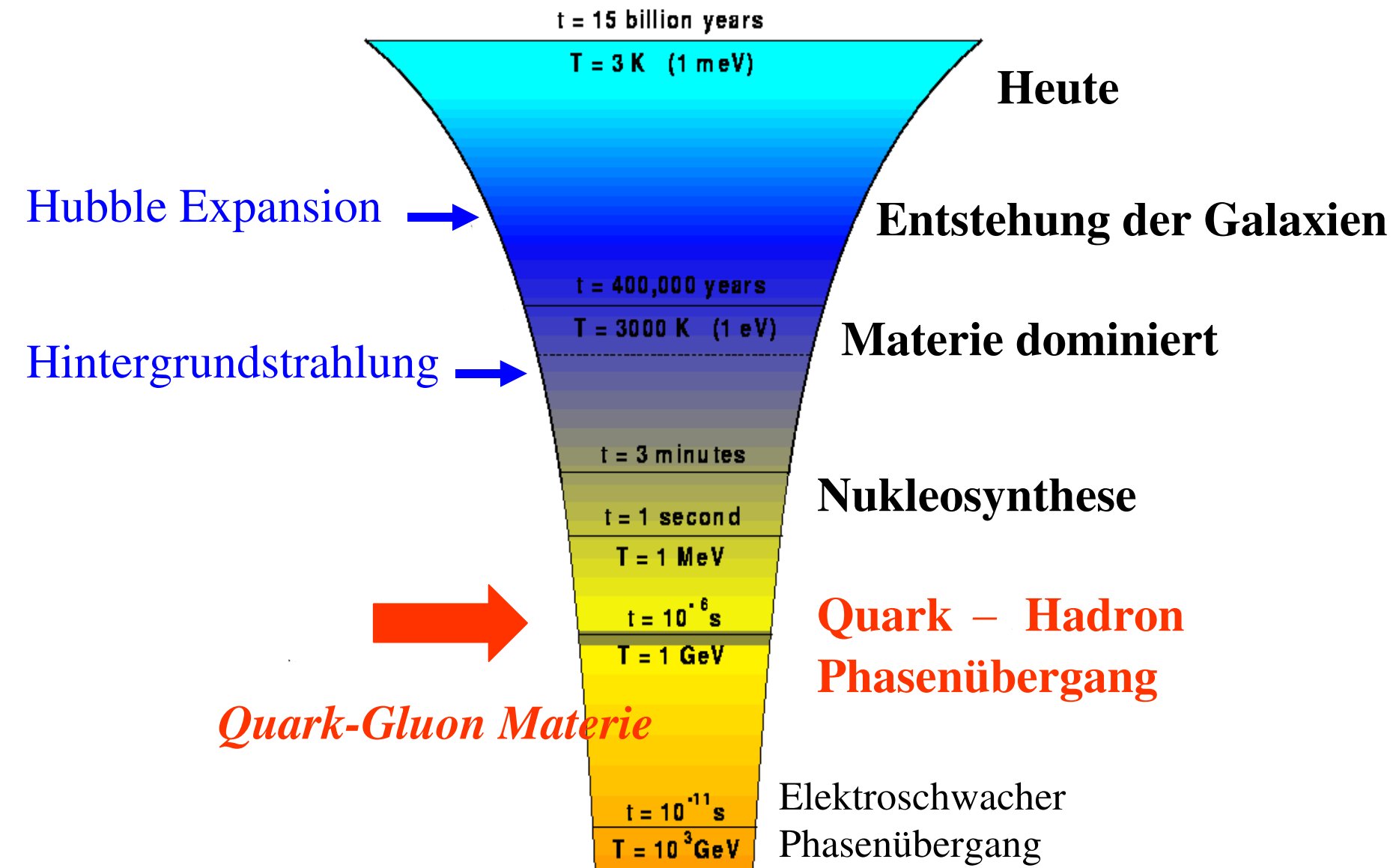
Dauer der Expansion = 15 Milliarden Jahre
 $D/V = 1/H$
(nicht ganz richtig, s.u.)

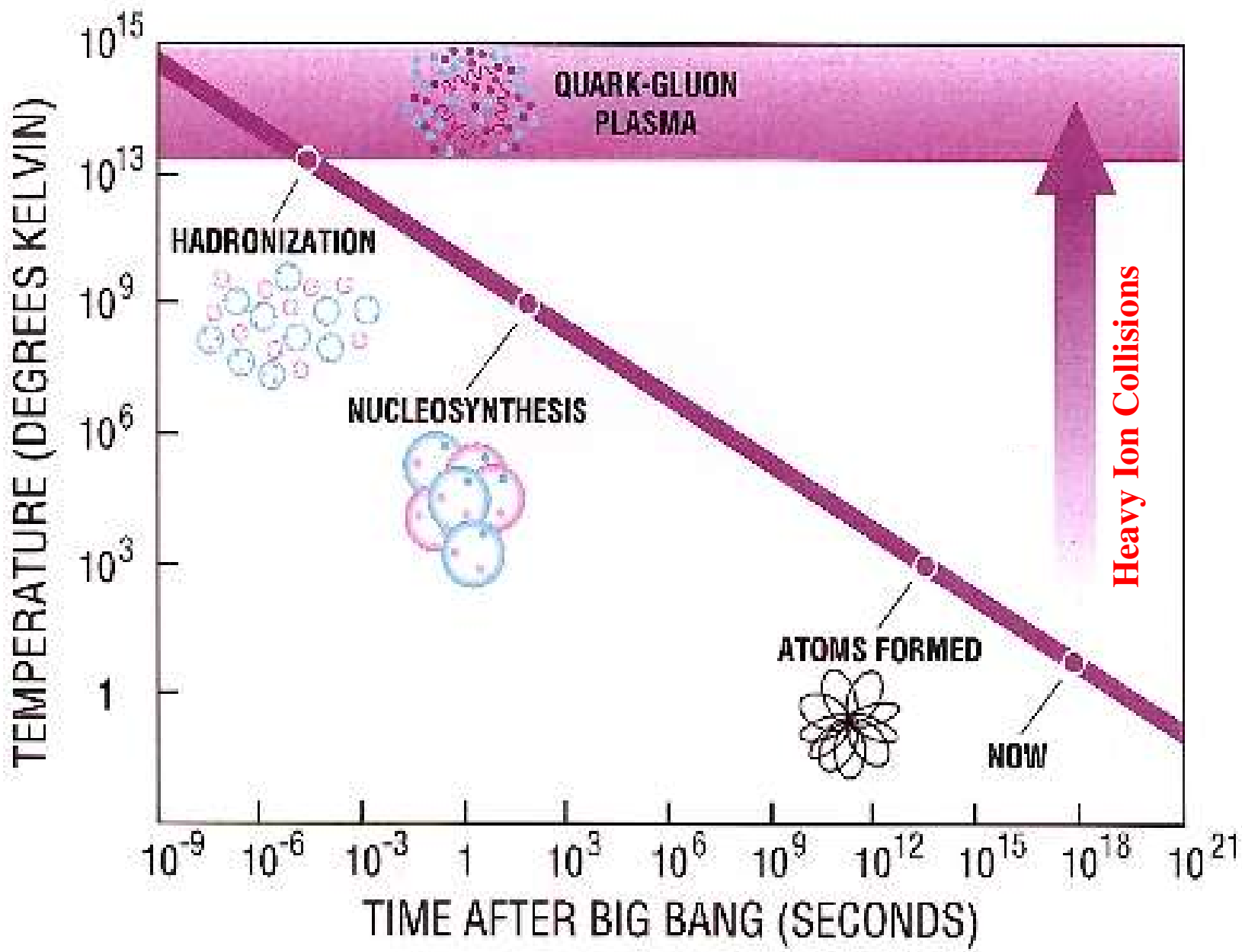
Expansion History of the Universe

Perlmutter, Physics Today (2003)



Wieweit kann man den Urknall zurückverfolgen?





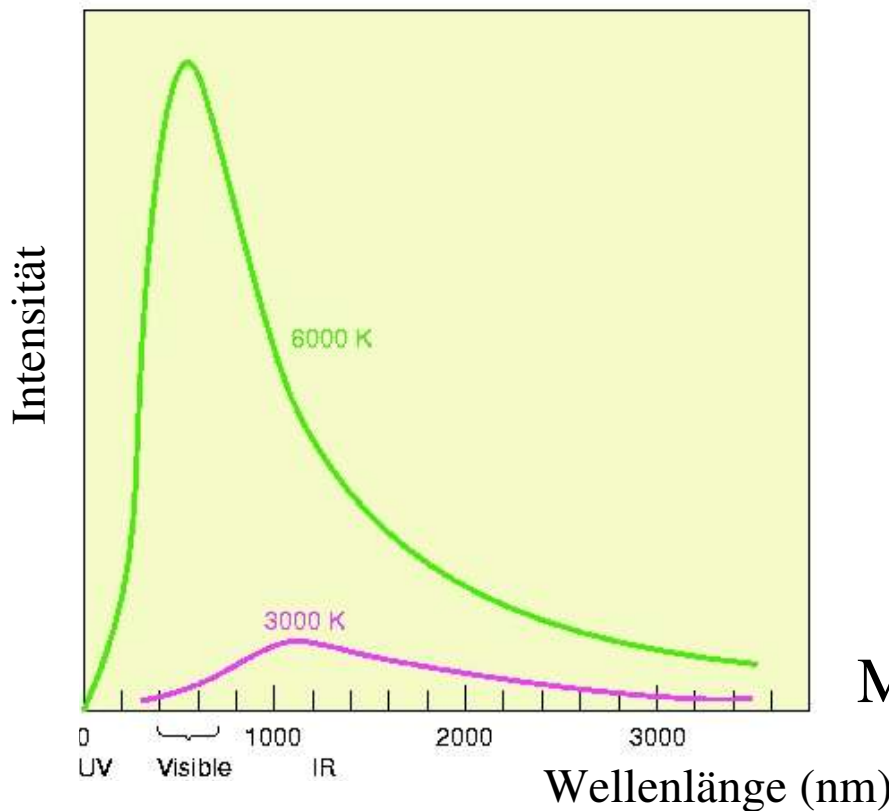
Wie wird die Temperatur bestimmt?

Aus der **Spektralverteilung** der Strahlung,
d.h. aus der Intensität als Funktion der Wellenlänge

- ➡ Für die Sonne mit Photonen (Licht) im sichtbaren Bereich
- ➡ Für das Weltall heute mit Mikrowellen
(kosmische Hintergrundstrahlung)

Messung der Temperatur an der Sonnenoberfläche

Photonen Spektrum



M. Planck 1900

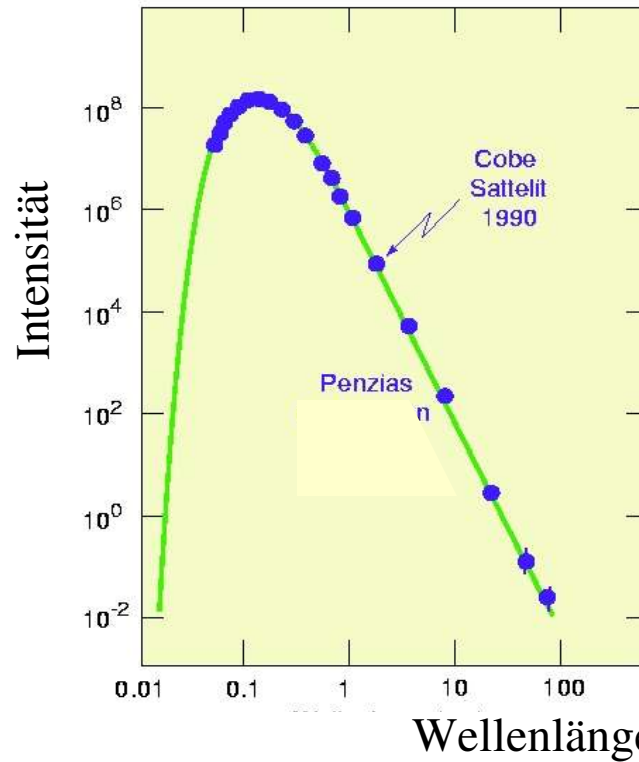
Aus Intensität und Wellenlänge des Sonnenlichts

$$T = 6000 \text{ K}$$

$$\text{Dichte} = 4 \cdot 10^{12} \text{ Photonen/cm}^3$$

Messung der Temperatur im All

Spektrum der kosmischen Hintergrundstrahlung



Penzias und Wilson 1965

Aus Intensität und Wellenlänge der Mikrowellen-Hintergrund Strahlung

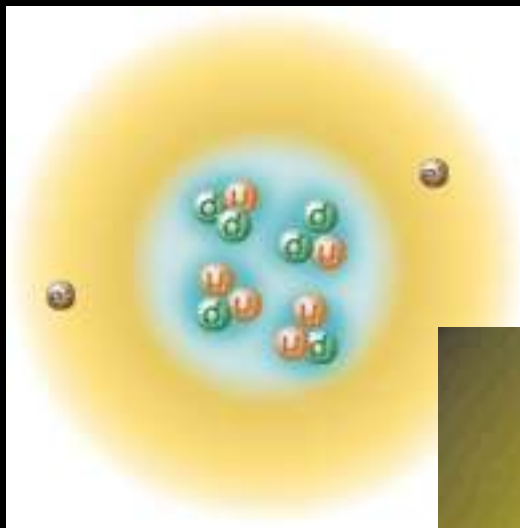
$$T = 2.736 \pm 0.017 \text{ K}$$

$$\text{Dichte} = 400 \text{ Photonen/cm}^3$$



Wie kann man den Materiezustand,
der 10 Mikrosekunden nach dem
Urknall existierte, produzieren und
untersuchen?

Mit Schwerionen-Kollisionen
bei
ultrarelativistischen Energien



The
Nucleus
 $(1\text{--}10) \times 10^{-15}\text{ m}$

made from three **quarks** held together by their strong interactions, which are mediated by gluons. In turn, the nucleus is held together by the **strong** interactions between the gluon and quark constituents of neighbouring nucleons. Nuclear physicists often use the exchange of mesons—particles which consist of a quark and an antiquark, such as the **pion**—to describe interactions among the nucleons.

A diagram of a nucleus showing three blue spheres labeled "neutron" and "proton". Inside each blue sphere are two red spheres labeled "quark". Arrows point from the labels to their respective parts. A large arrow points from the text "strong field" to the space between the blue spheres. Another arrow points from the text "electromagnetic field" to the space between the red spheres.

neutron
 10^{-15} m

proton

strong field

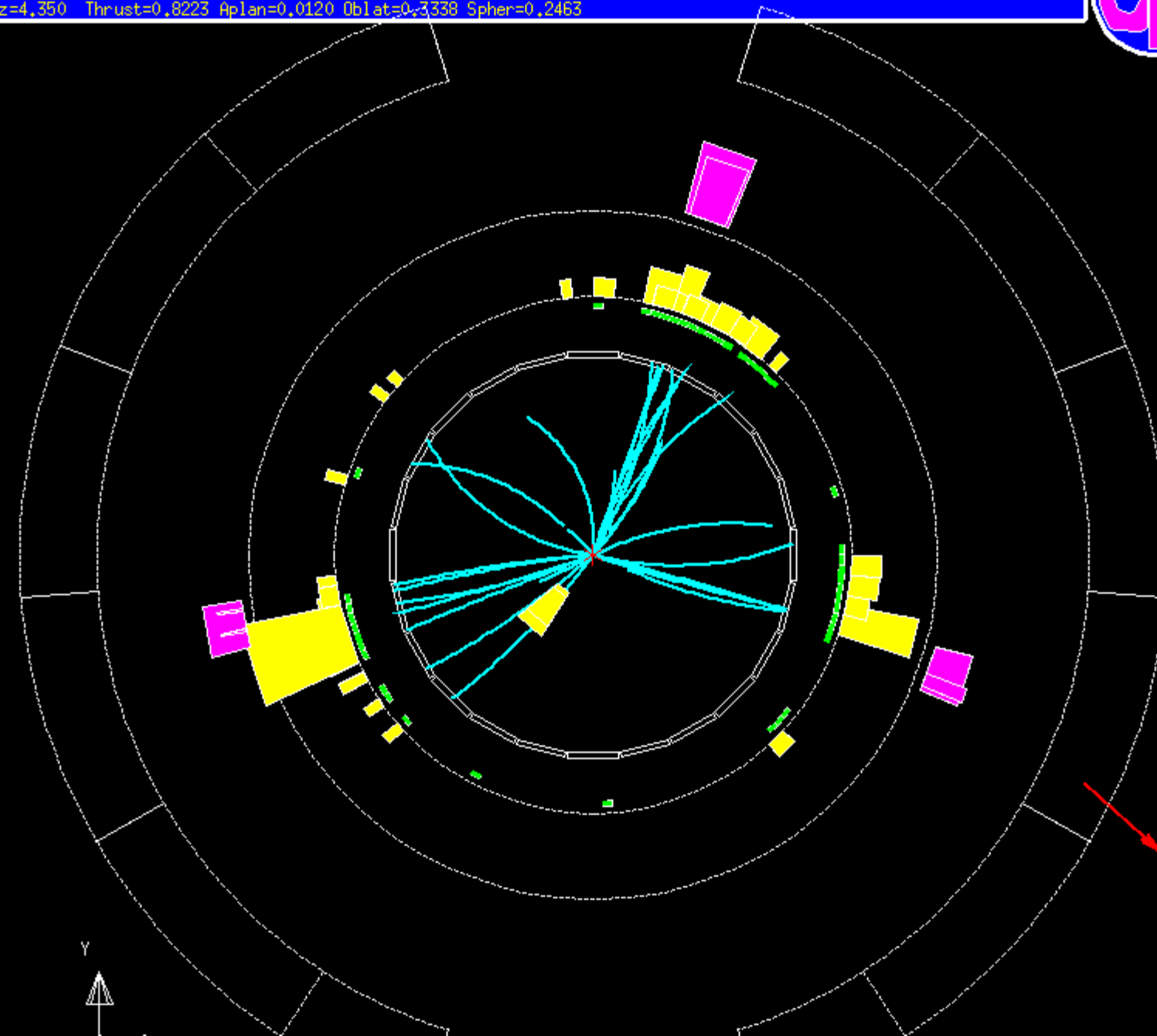
quark
 $<10^{-19}\text{ m}$

electromagnetic field

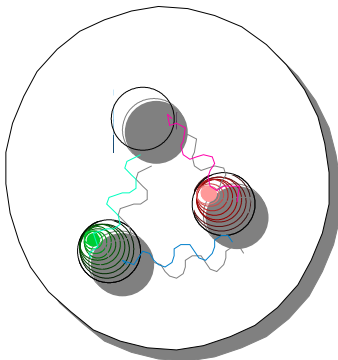
Der Teilchen-Zoo

Quarks		spin = 1/2	BOSONS		force carriers	
Flavor		Approx. Mass GeV/c ²	Unified Electroweak spin = 1		spin = 0, 1, 2, ...	
u up	d down	Baryons qqq and Antibaryons q̄q̄q̄		Strong (color) spin = 1		
c charm	s strange	Baryons are fermionic hadrons. There are about 120 types of baryons.		Name		Mass GeV/c ²
t top	b bottom	p	Mesons q̄q		g gluon	0
		π ⁺	pion	ud	+1	0.140
		K ⁻	kaon	sū	-1	0.494
		ρ ⁺	rho	ud	+1	0.770
		B ⁰	s-zero	db	0	5.279
				cc		

Run:event 2542; 63750 Date 911014 Time 35925 Ctrk(N= 28 Sump= 42.1) Ecal(N= 42 SumE= 59.8) Hcal(N= 8 SumE= 12.7)
Ebeam 45.609 Evis 86.2 Emiss 5.0 Vtx (-0.05, 0.12, -0.90) Muon(N= 1) Sec Vtx(N= 0) Fdet(N= 2 SumE= 0.0)
Bz=4.350 Thrust=0.8223 Aplan=0.0120 ObLat=0.3338 Spher=0.2463

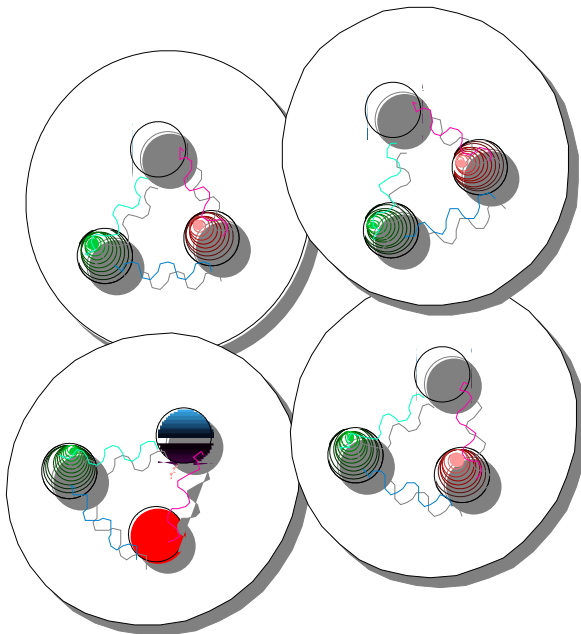


Nukleon



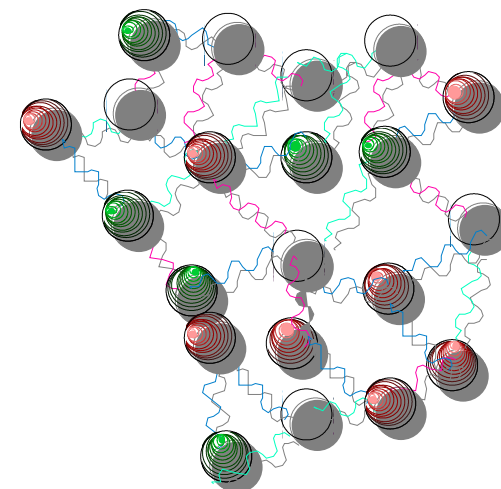
confinement

Kern

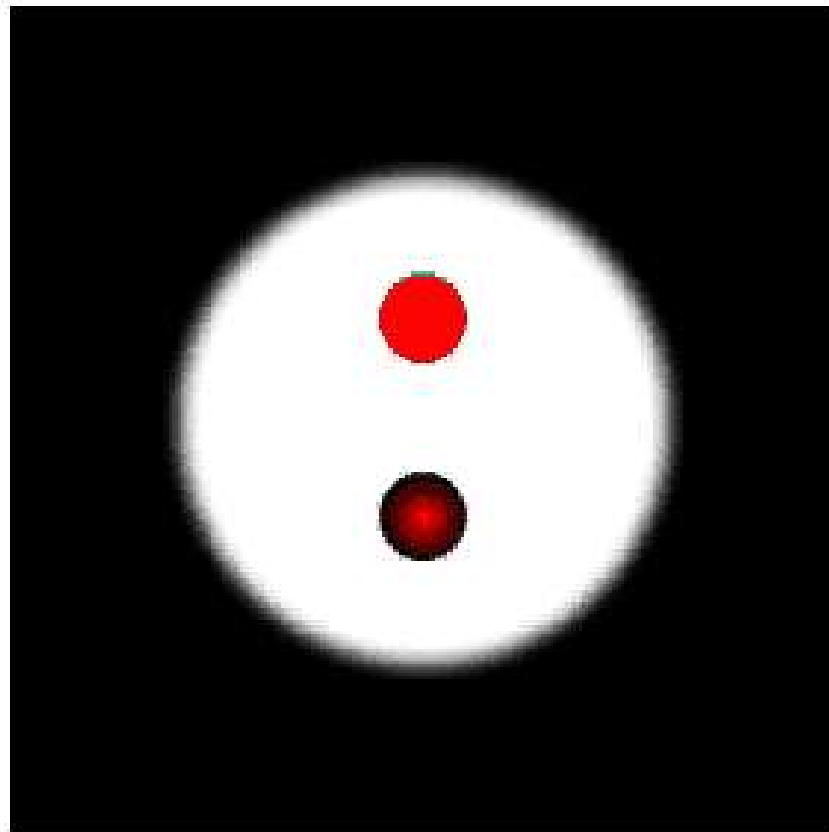


de-confinement

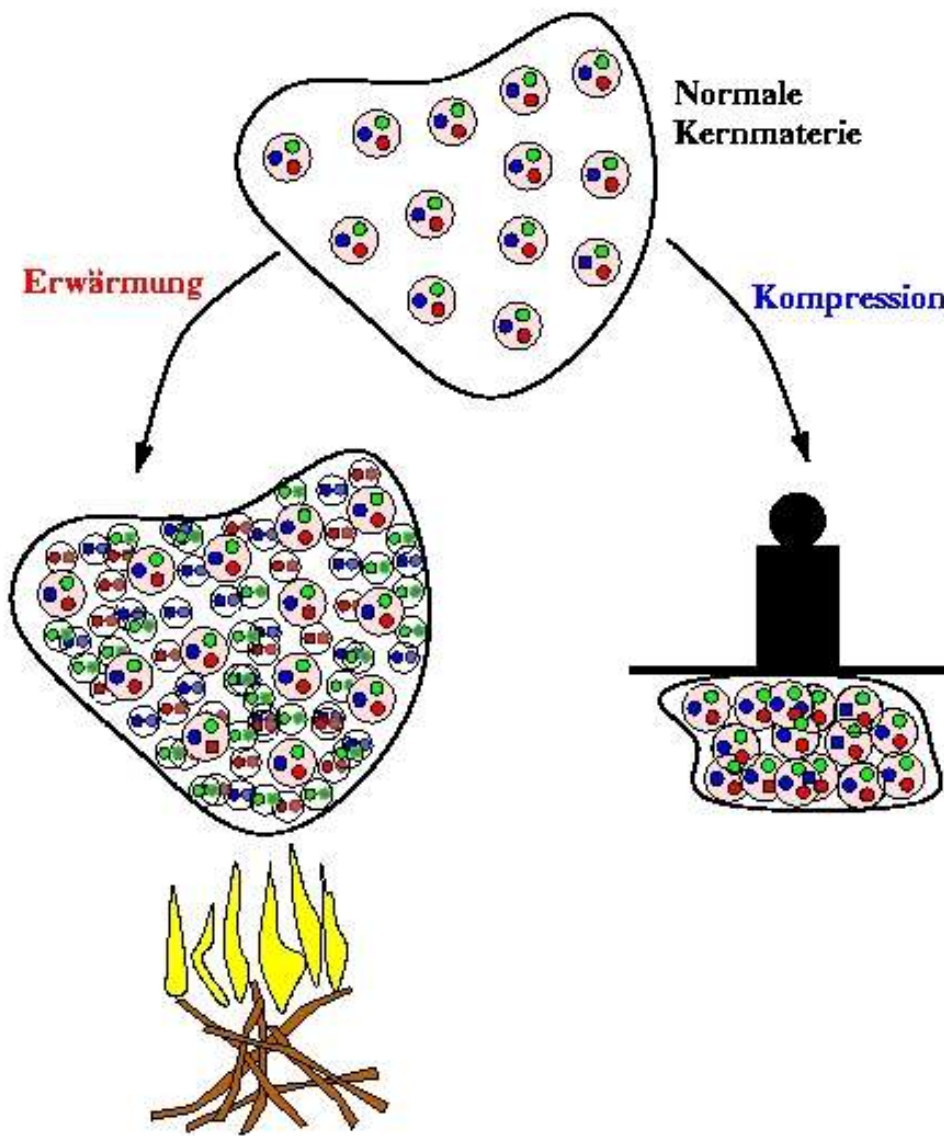
**Quark-Gluon
Materie**



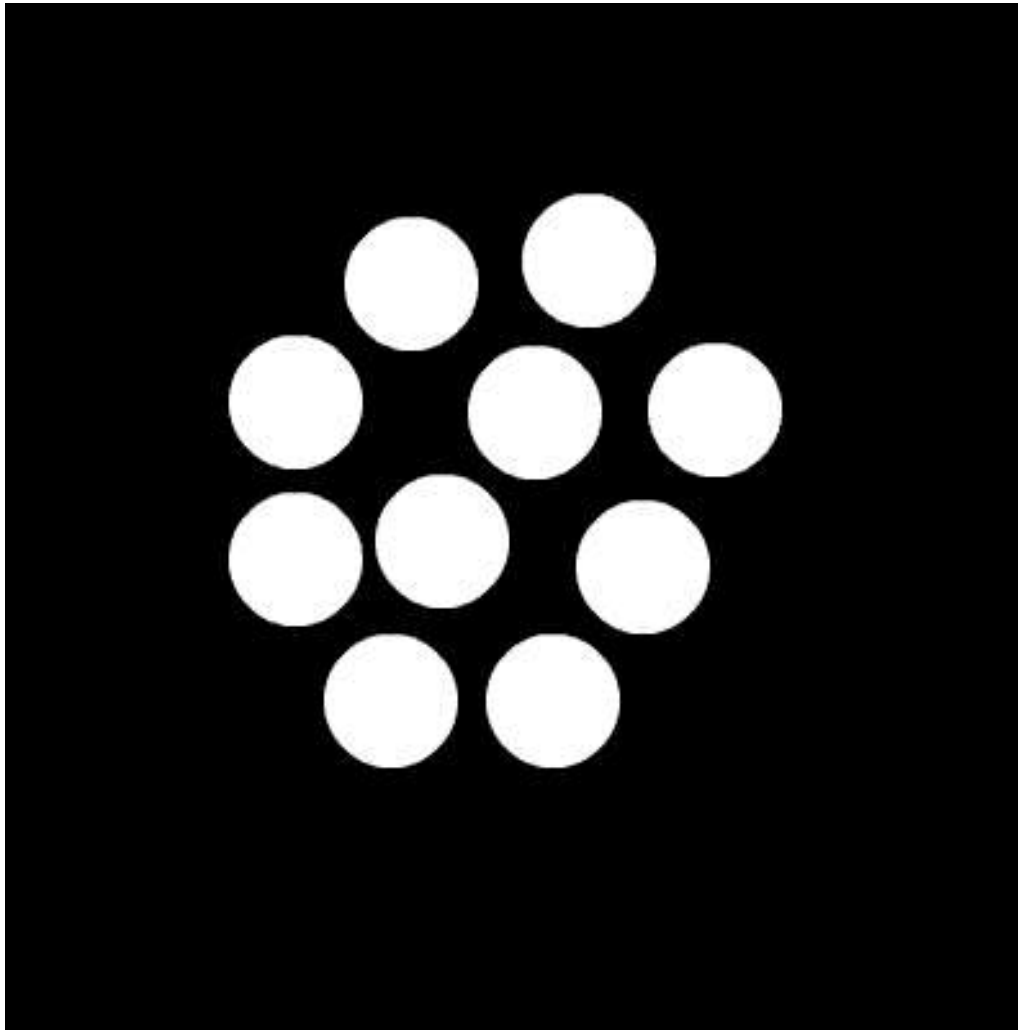
Ein Meson



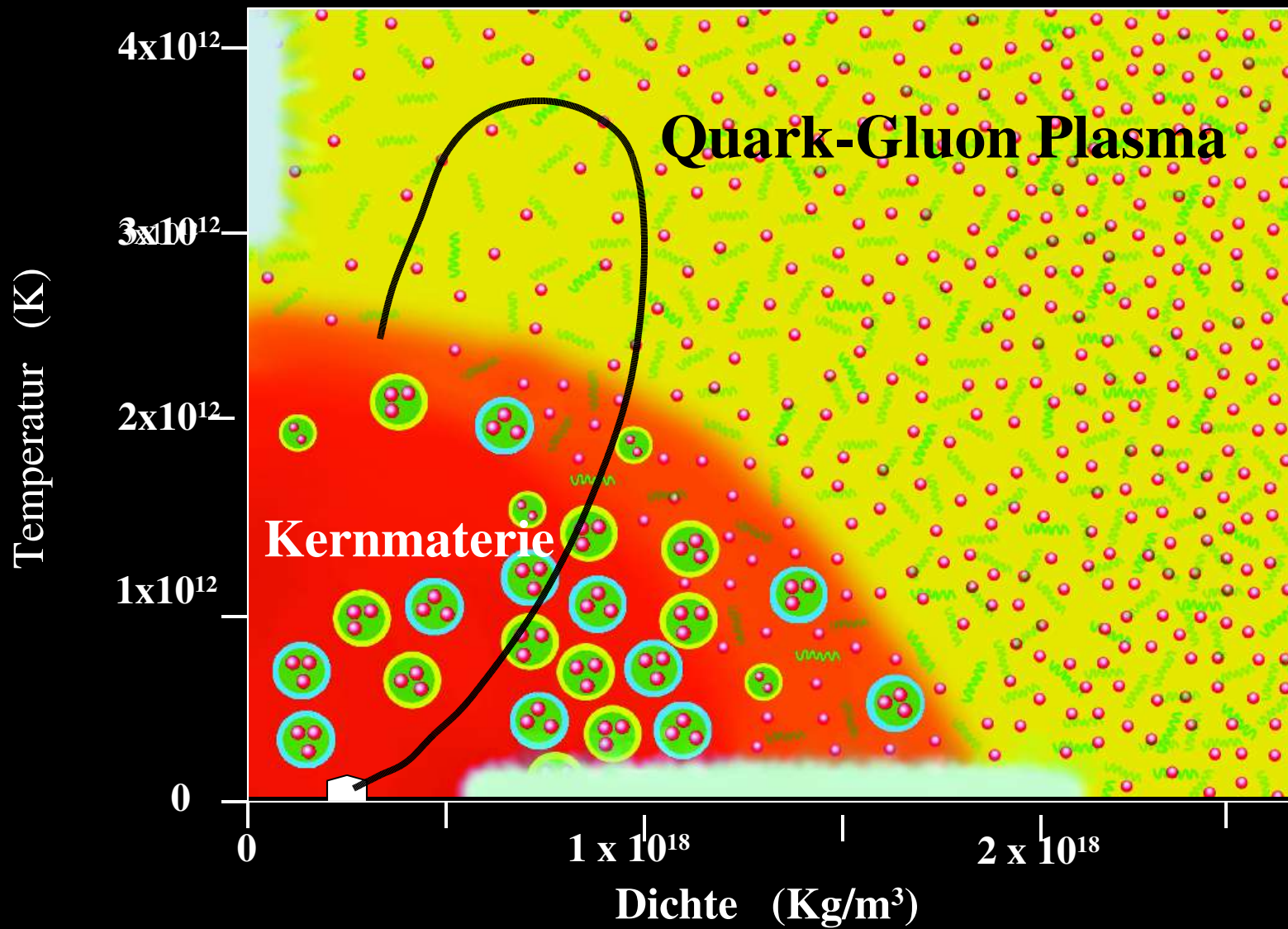
Durch enorme Erwärmung oder Kompression von Materie werden Quarks aus ihrem
"confinement" befreit:



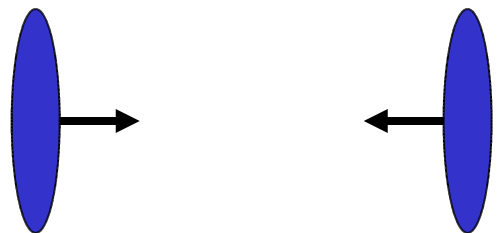
Von Kernmaterie zum Quark Gluon Plasma



movie mesons



Vor dem Stoss

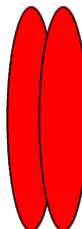


Normale Kernmaterie

$$\rho_0 = 0.17 \text{ fm}^{-3}$$

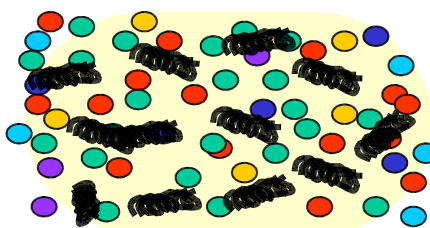
$$\varepsilon_0 = 0.16 \text{ GeV fm}^{-3}$$

Kompression und Heizen



Quark-Gluon Materie
Quark-Gluon Plasma

Feuerball

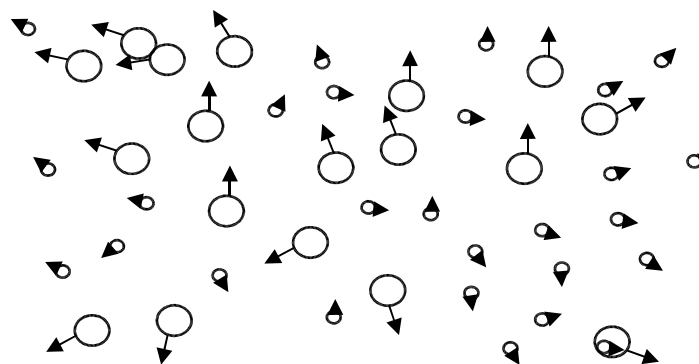


Erzeugung erwartet bei

$$\rho = 1.2 \text{ fm}^{-3}$$

$$\varepsilon = 3 \text{ GeV fm}^{-3}$$

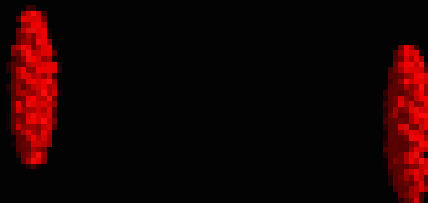
Expansion und
Entkopplung



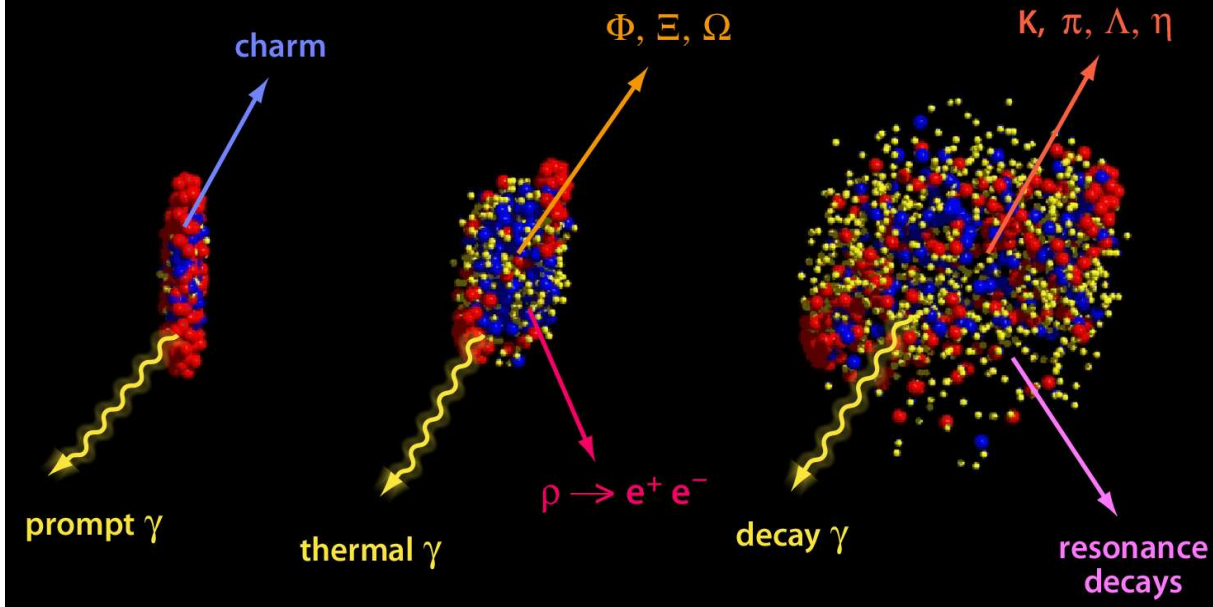
Nicht wechselwirkende
Elementarteilchen

Zeit

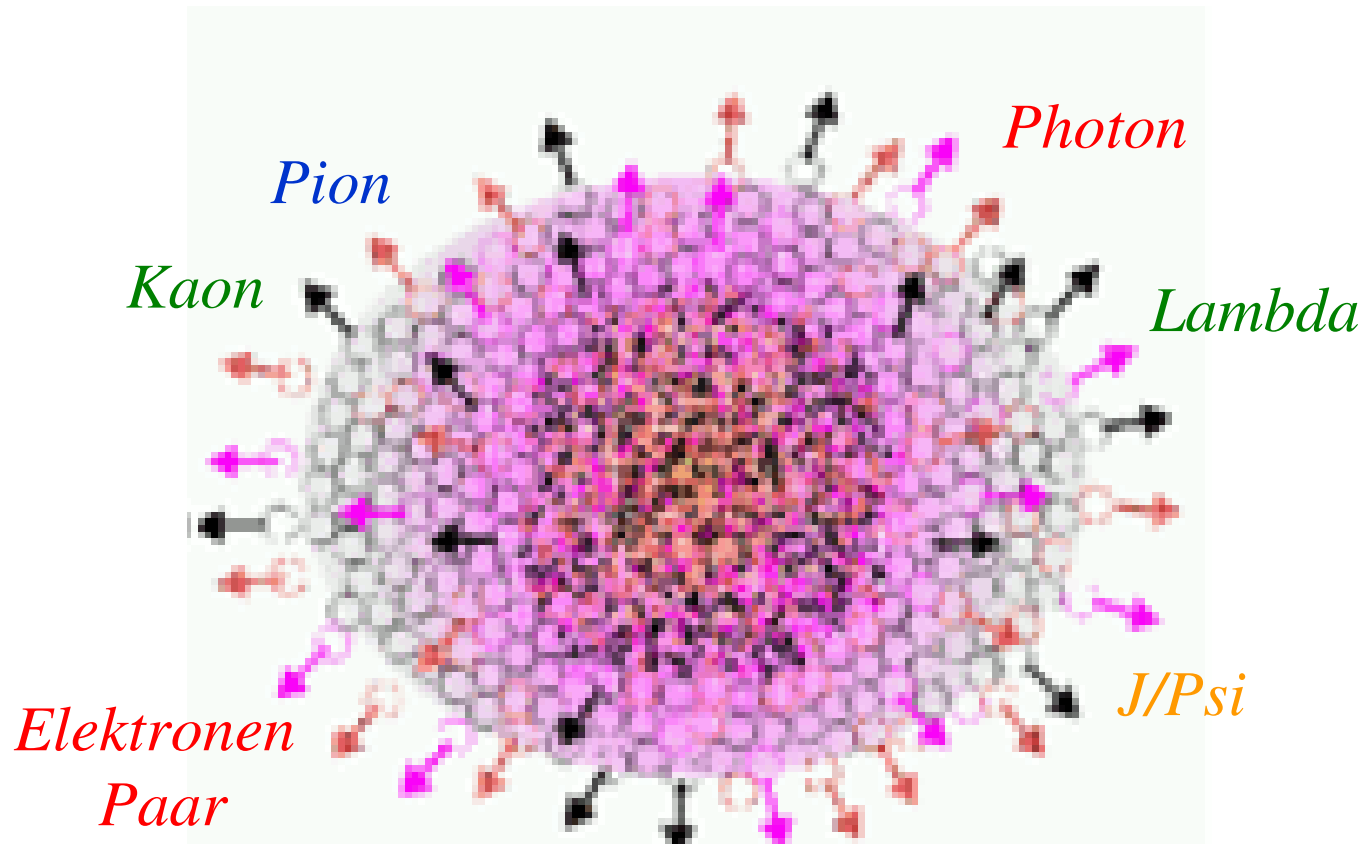
Kollision und Diagnose



LHCb Simulation

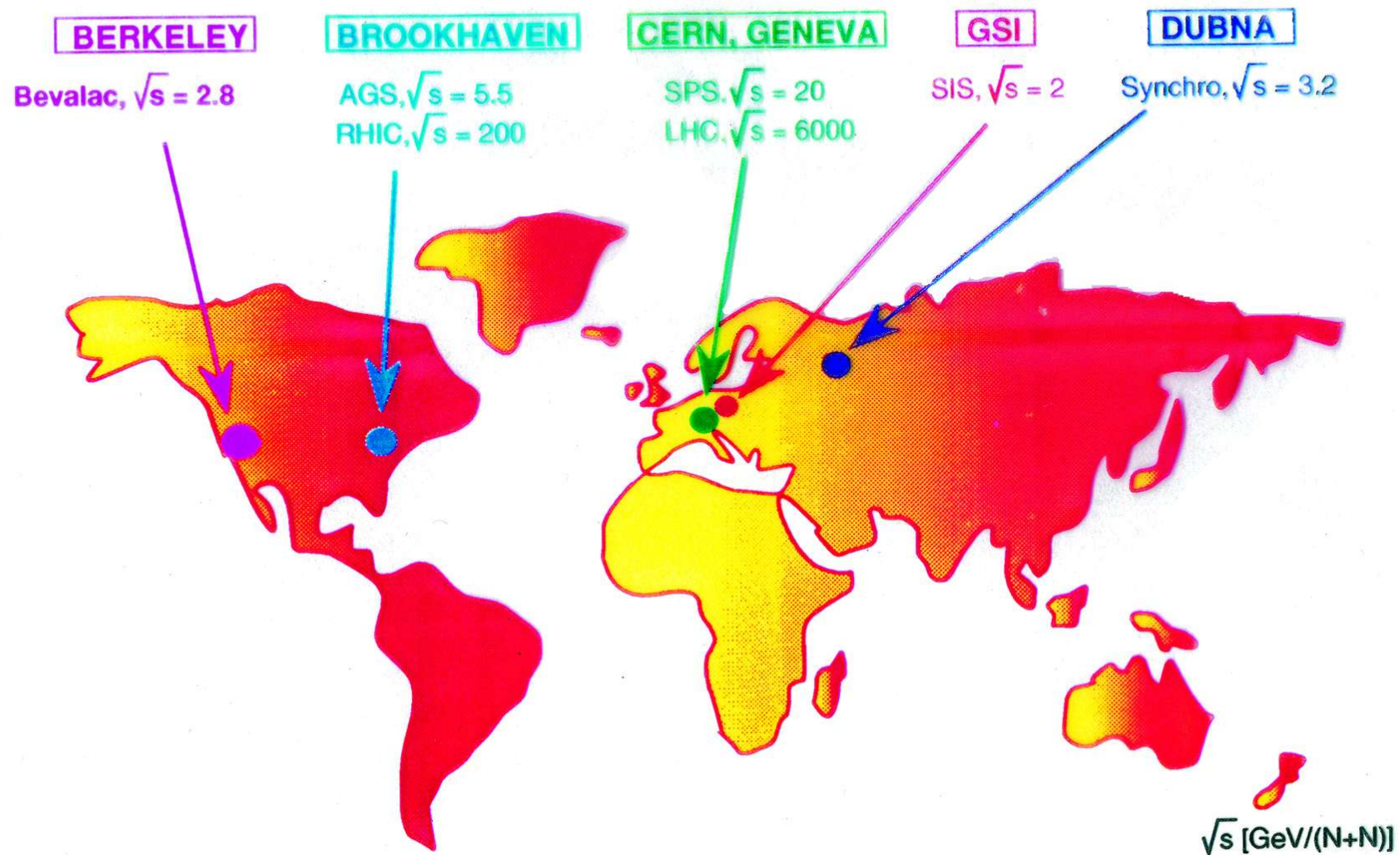


Feuerball



Die Eigenschaften des Feuerballs kann man durch die Messung der emittierten Teilchen bestimmen.

Relativistic Heavy Ion Accelerators





CERN

SPS : 1986 - 2003

- S and Pb ; up to $\sqrt{s} = 20$ GeV/nucl pair
- hadrons, photons and dileptons

LHC : starting 2007

- Pb ; up to $\sqrt{s} = 5.5$ TeV/nucl pair
- ALICE and CMS experiments

AGS : 1986 - 2000

- Si and Au ; up to $\sqrt{s} = 5$ GeV /nucl pair
- only hadronic variables

RHIC : 2000

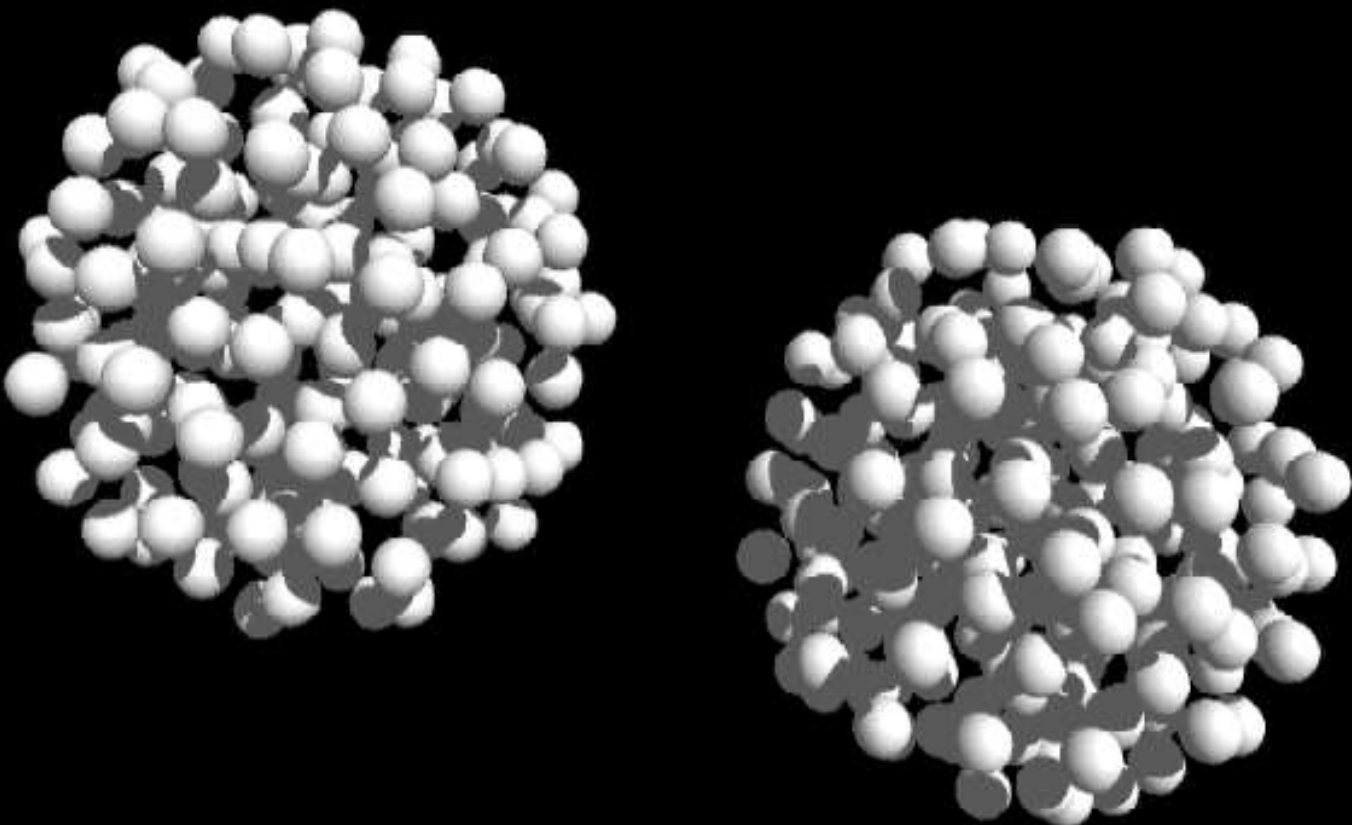
- Au ; up to $\sqrt{s} = 200$ GeV /nucl pair
- hadrons, photons, dileptons, jets





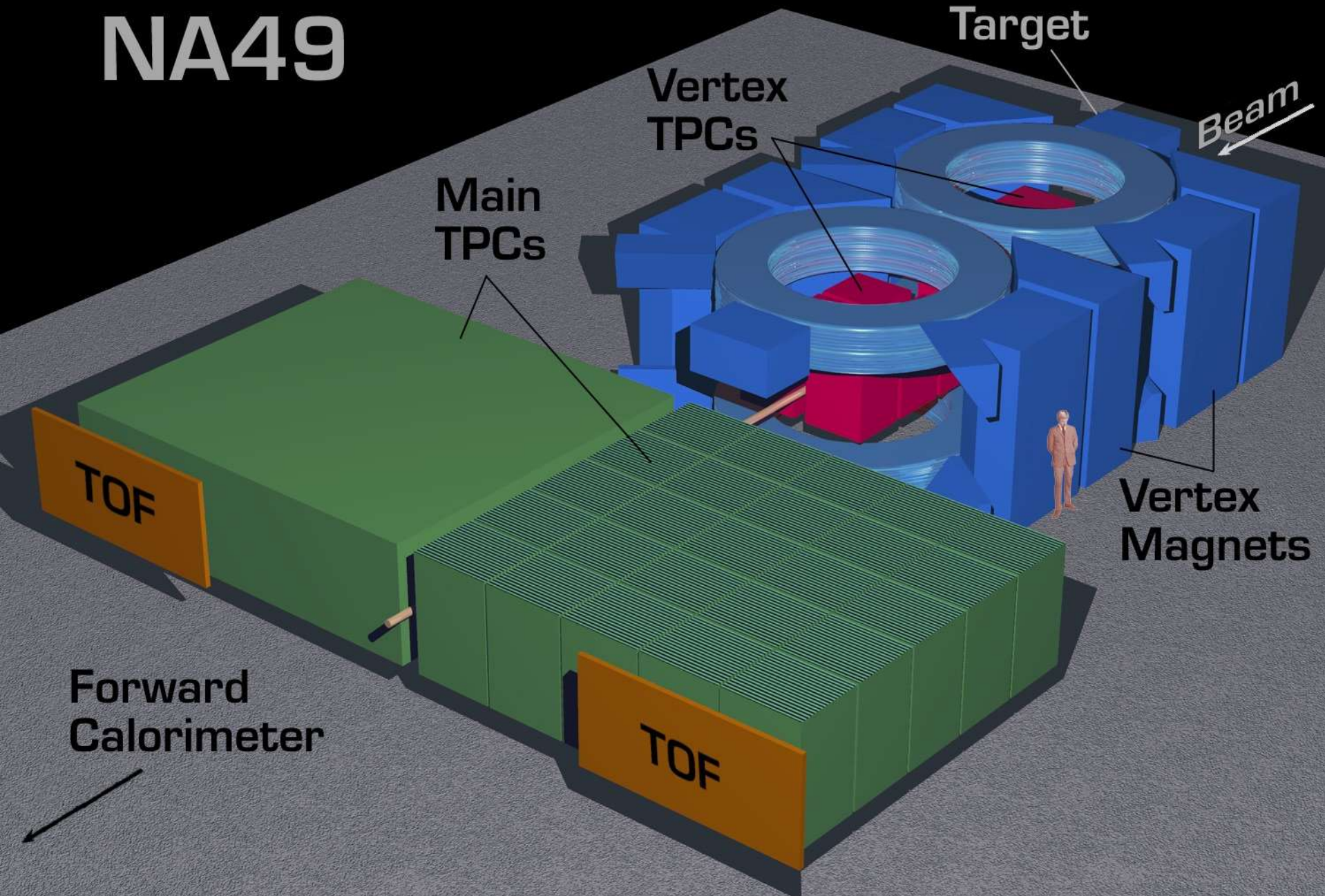
Pb+Pb 160 GeV/A

t=-0.22 fm/c



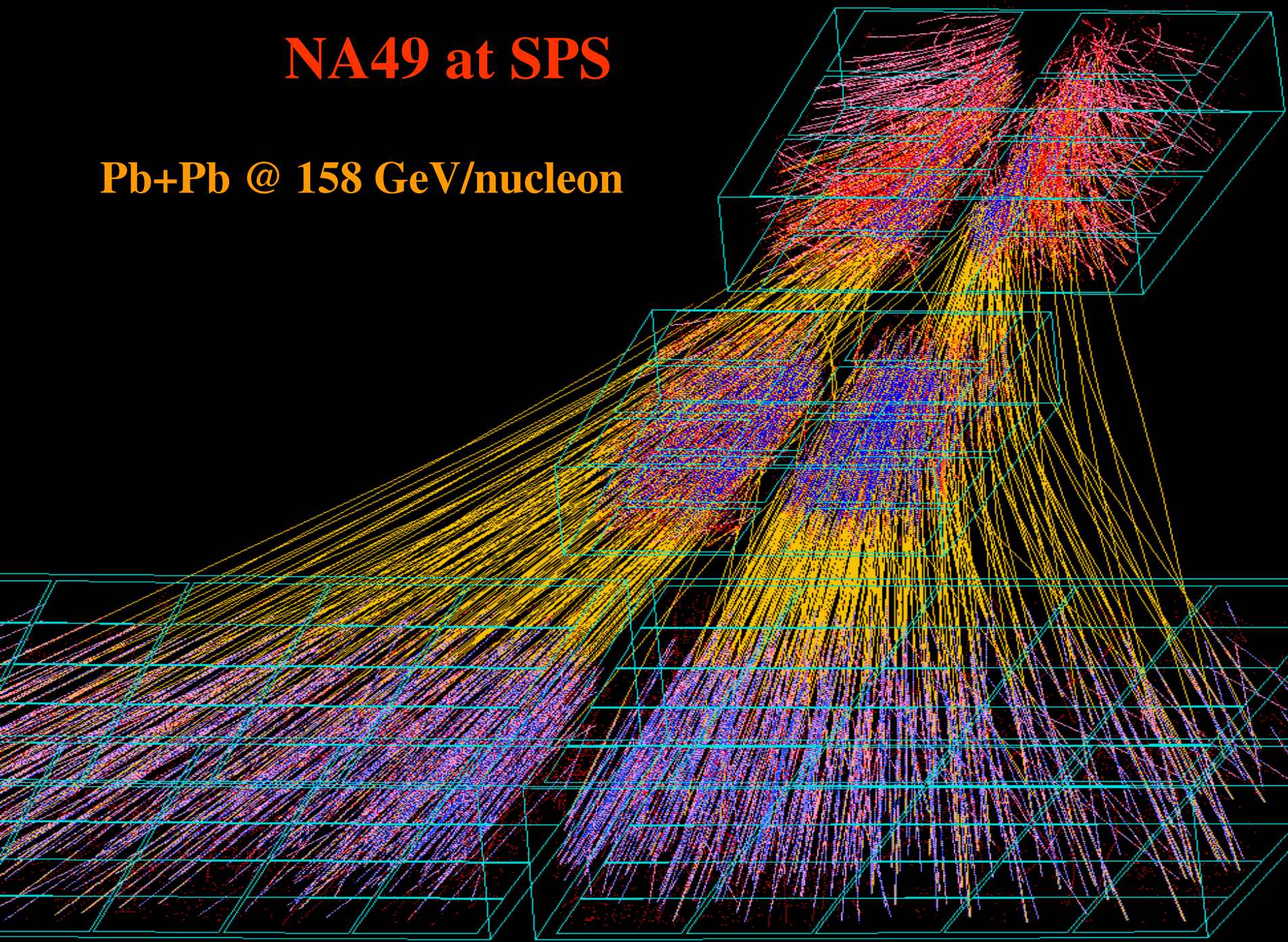
UrQMD Frankfurt/M

NA49

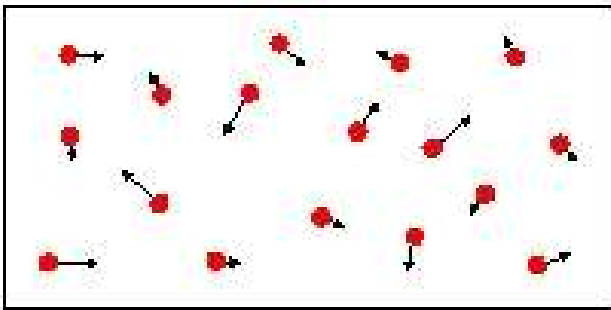


NA49 at SPS

Pb+Pb @ 158 GeV/nucleon

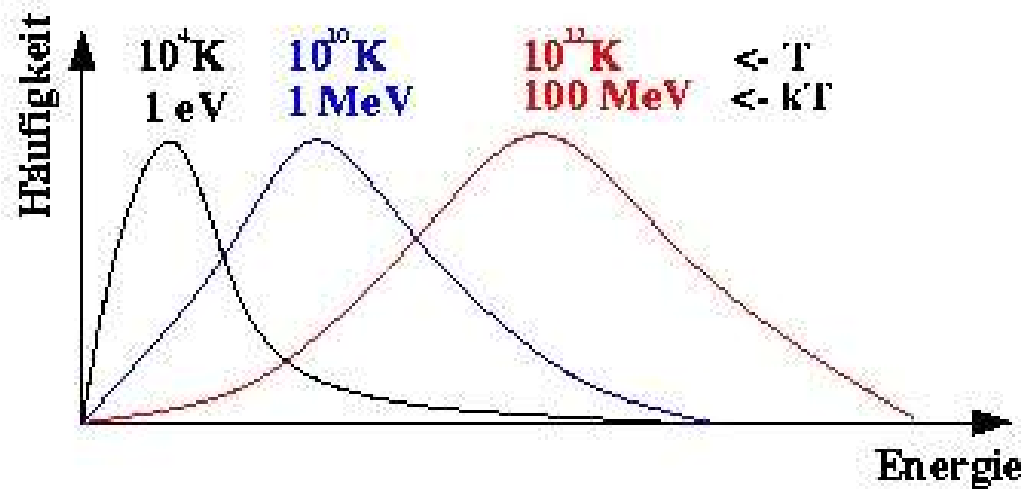


Thermische Energie



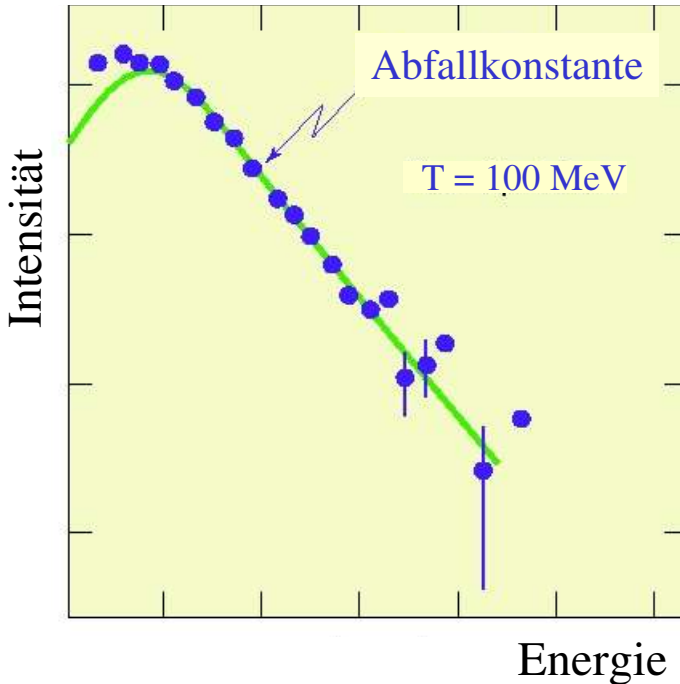
Gas mit Temperatur **T**

mittlere kinetische Energie
 $E_{\text{kin}} = 1/2 m v^2 \sim kT$ ist
proportional zur Temperatur
($kT = \text{thermische Energie}$)



Messung der Temperatur eines Feuerballs aus dem Schwerionenstoss

Pionen Spektrum



Abfallkonstante proportional zur Temperatur

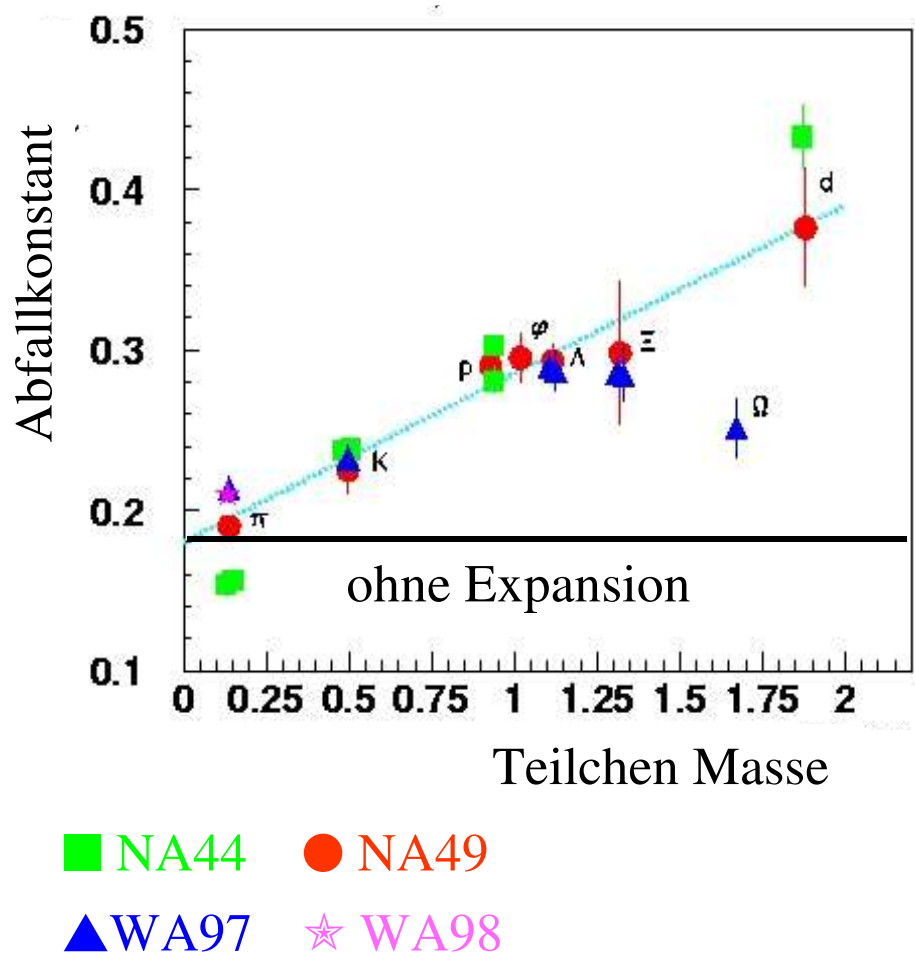
Aus Intensität und Energie der ausgestrahlten Pionen

$$T = 100 \text{ MeV} \quad T = 10^{12} \text{ K}$$

100 000 mal heißer als im Inneren der Sonne!

Puzzle: die Abfallkonstante ('Temperatur')

hängt von der Masse ab!



Auflösung:

Hubble Expansion
und Abkühlung des
Nuklearen Feuerballs

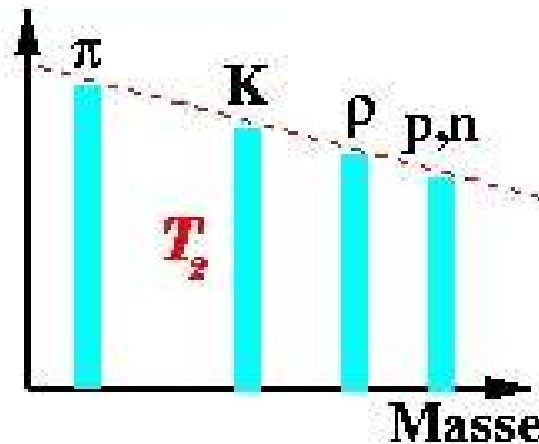
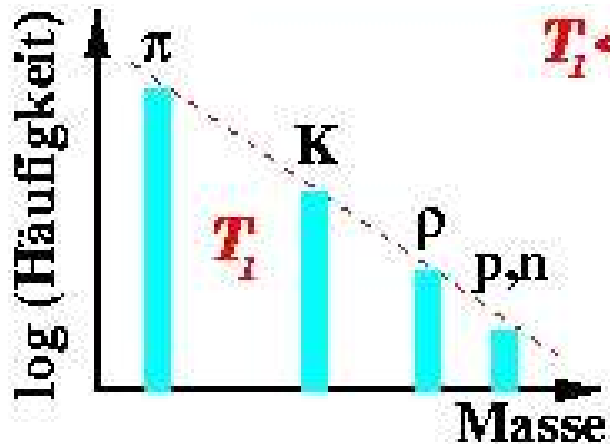
Beim Ausfrieren:

$$T = 120 \text{ MeV}$$

$$v = 0.55 c$$

Thermische Energie kann auch zur Besetzung von angeregten Zuständen oder zur Produktion neuer Teilchen führen

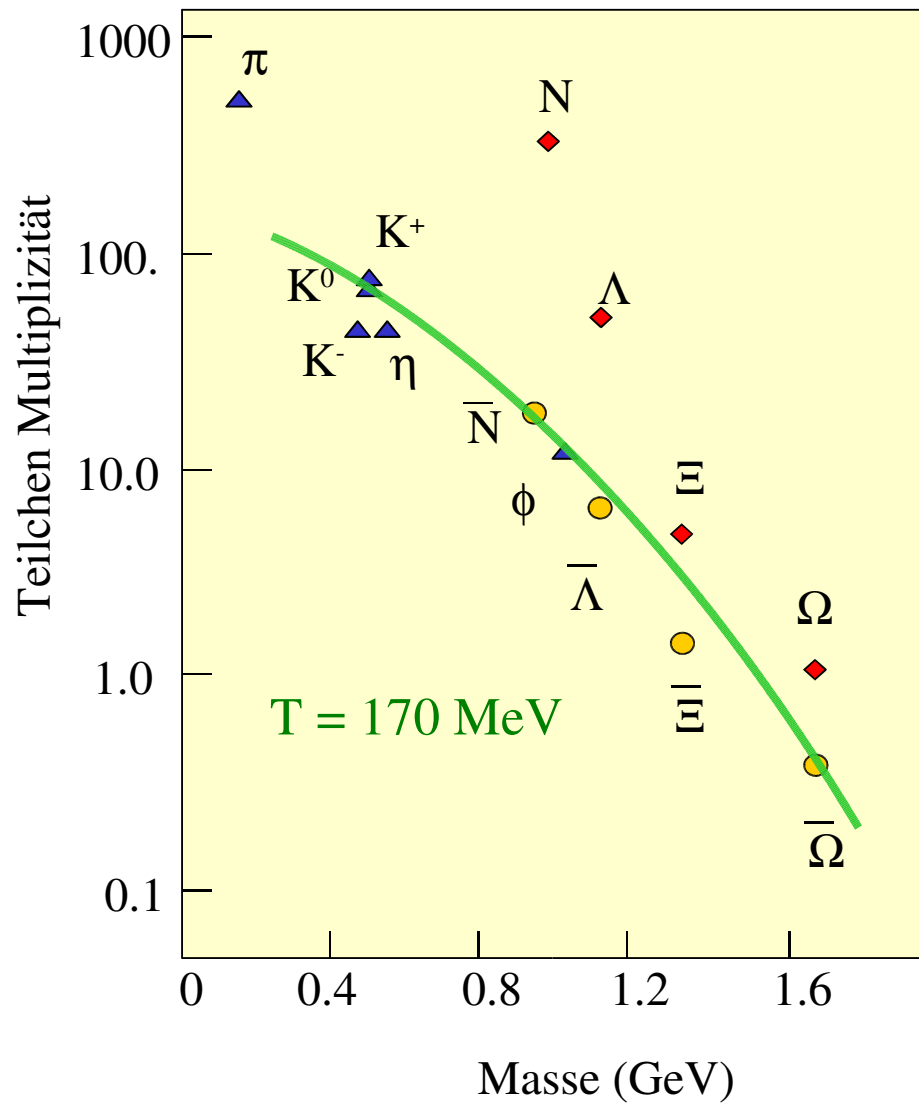
Äquivalenz Energie \Leftrightarrow Masse



$$\text{Häufigkeit} \sim m^{3/2} e^{-m/T}$$

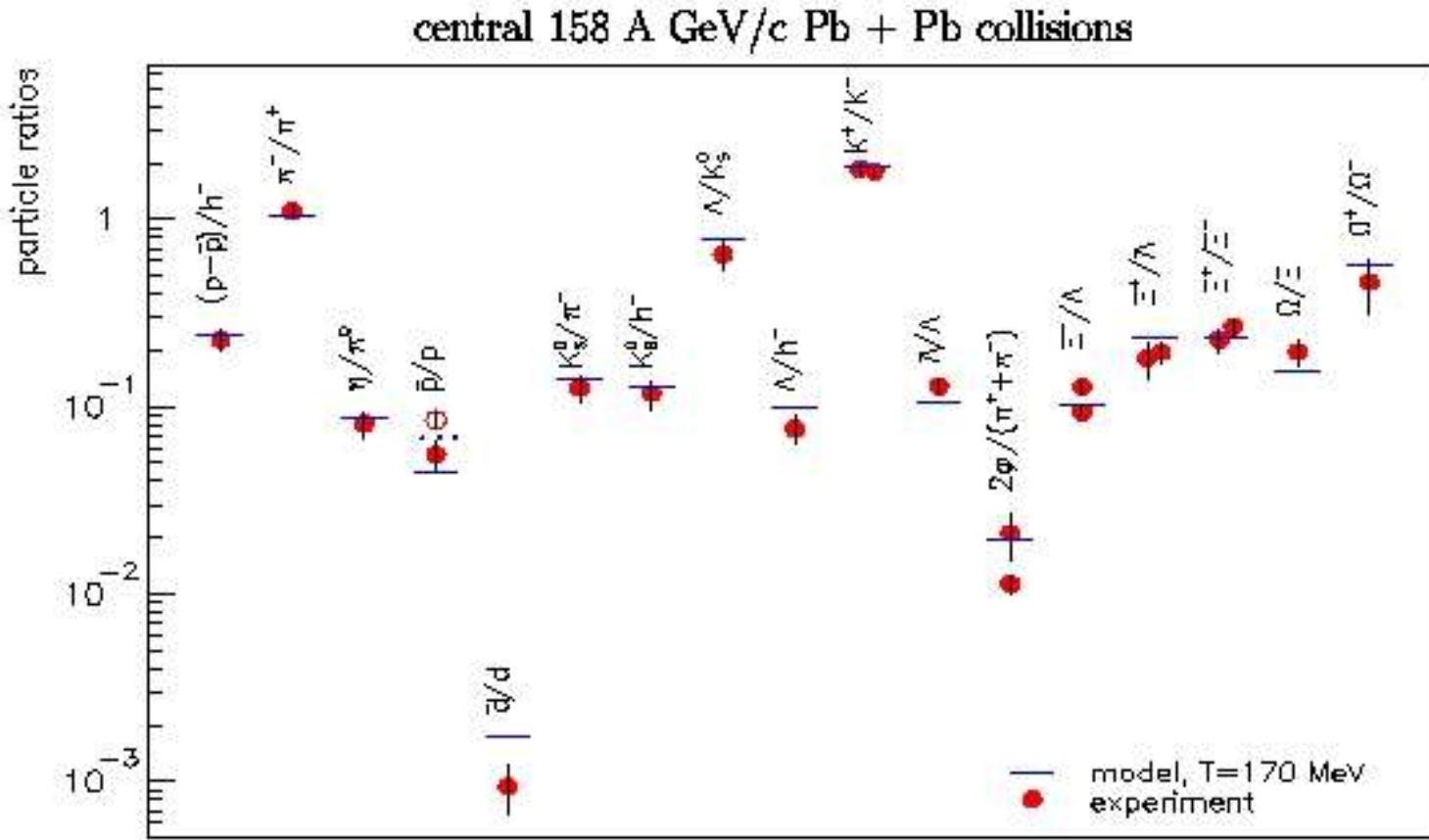
Die gemessenen Teilchenhäufigkeiten erlauben die Bestimmung von Temperatur und Dichte beim Zeitpunkt der Produktion hadronischer Teilchen

$$\text{Häufigkeit} \sim m^{3/2} e^{-m/T}$$



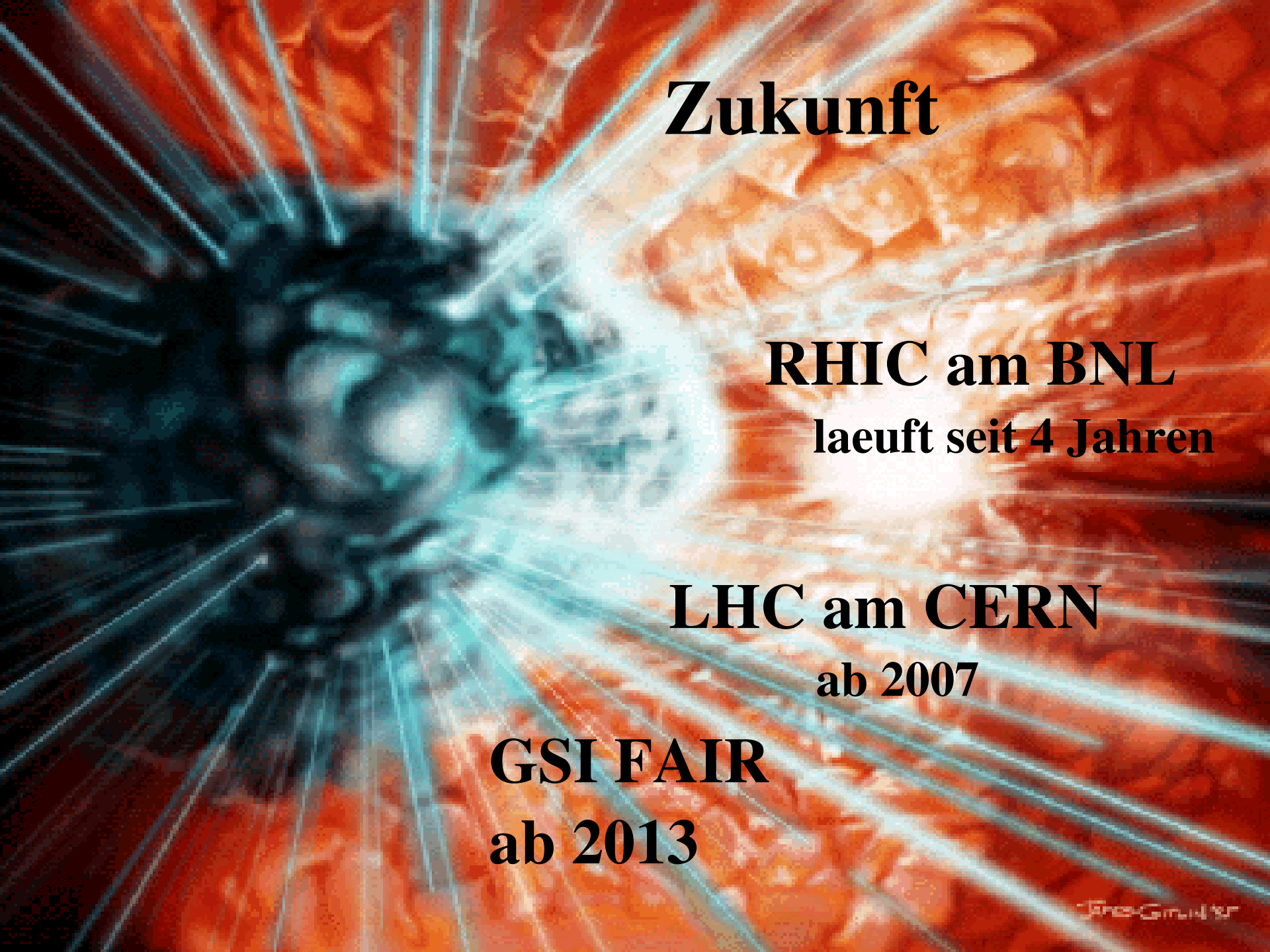
Die gemessene Teilchen-Multiplizität kann man verstehen, wenn alle Teilchen gemeinsam bei einer Temperatur von **170 MeV** produziert werden.

Beschreibung in einem vollständigen thermischen Modell at SPS



Bestimmung der Temperatur und Dichte
zur Zeit der Teilchenproduktion

T = 170 MeV
 $\mu_B = 266 \text{ MeV}$



Zukunft

RHIC am BNL
läuft seit 4 Jahren

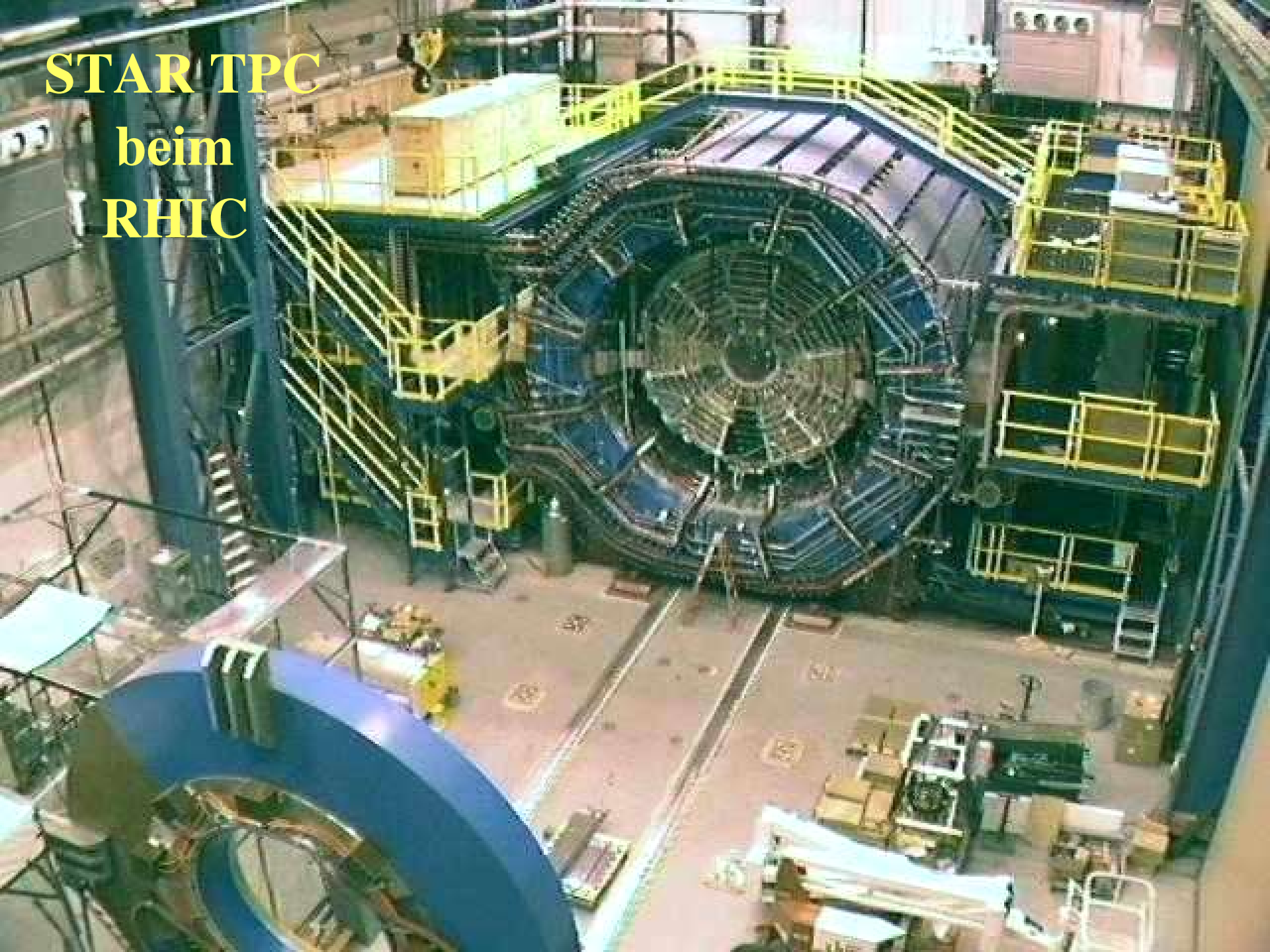
LHC am CERN
ab 2007

GSI FAIR
ab 2013

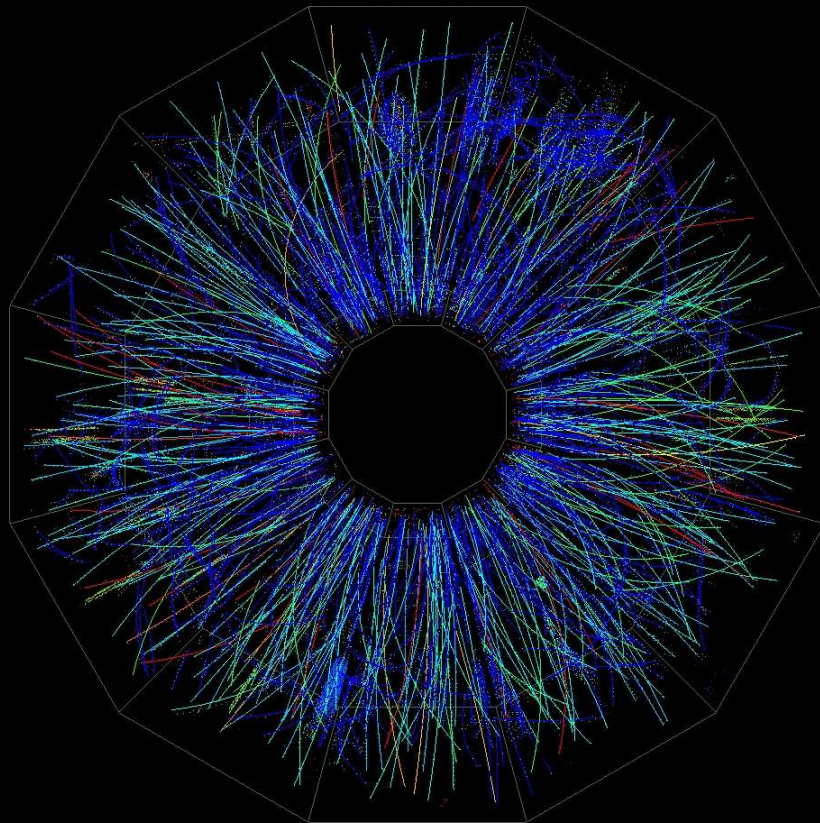
Relativistic Heavy Ion Collider



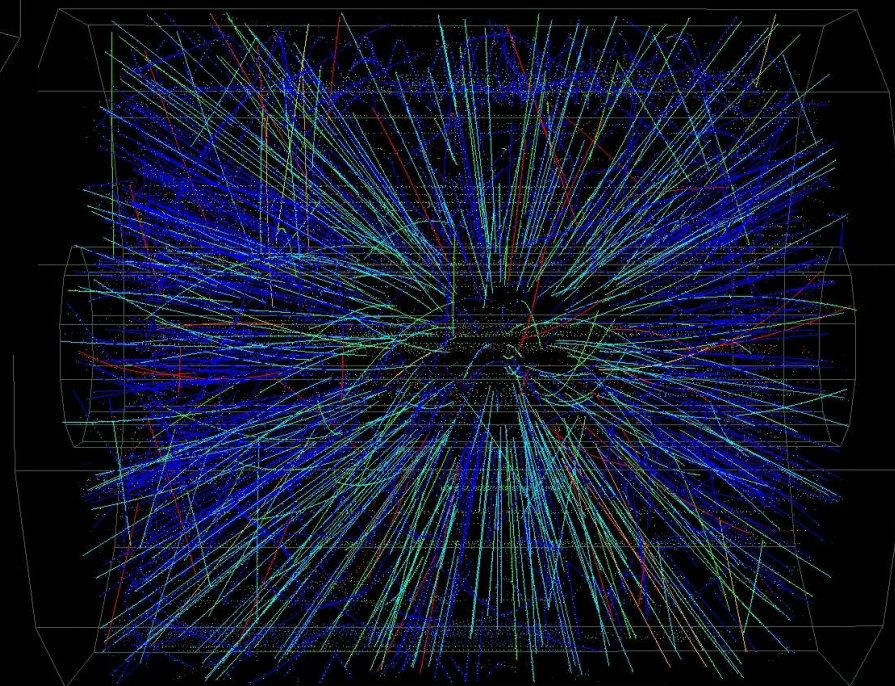
STAR TPC beim RHIC



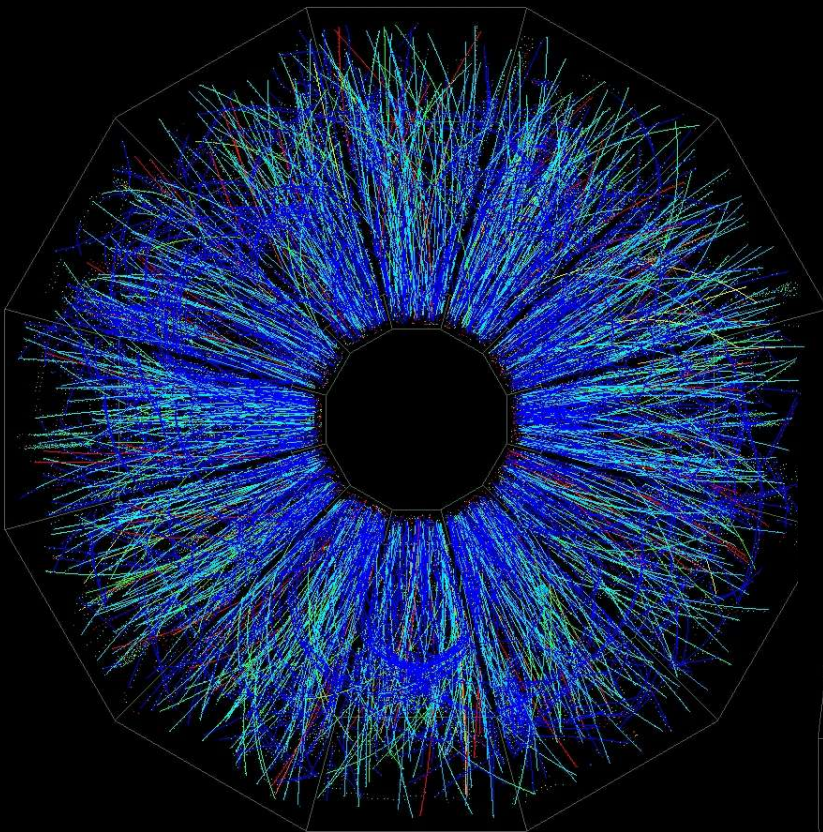
Au on Au Event at CM Energy \sim 130 A-GeV



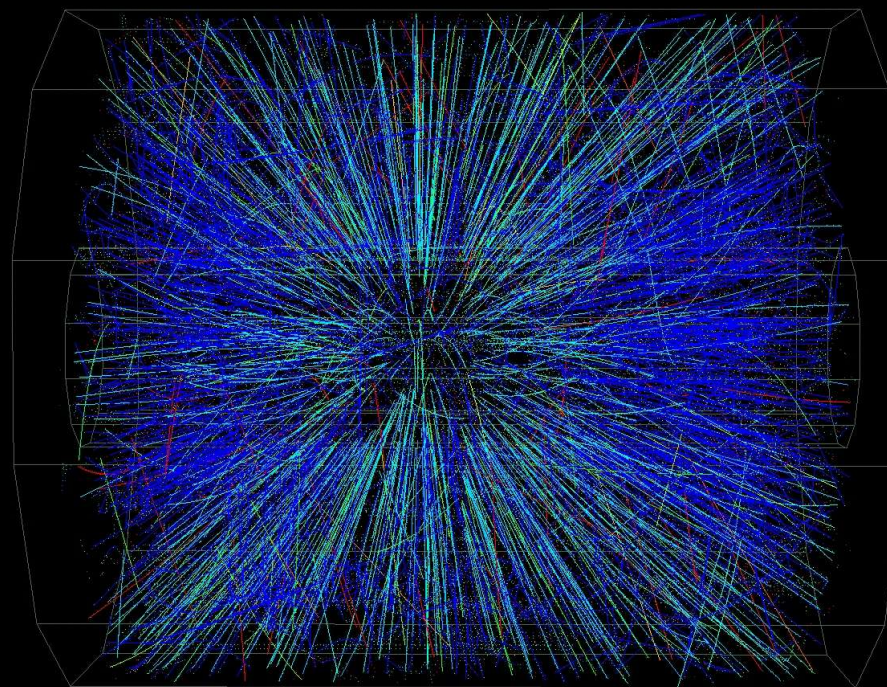
Peripheral Event



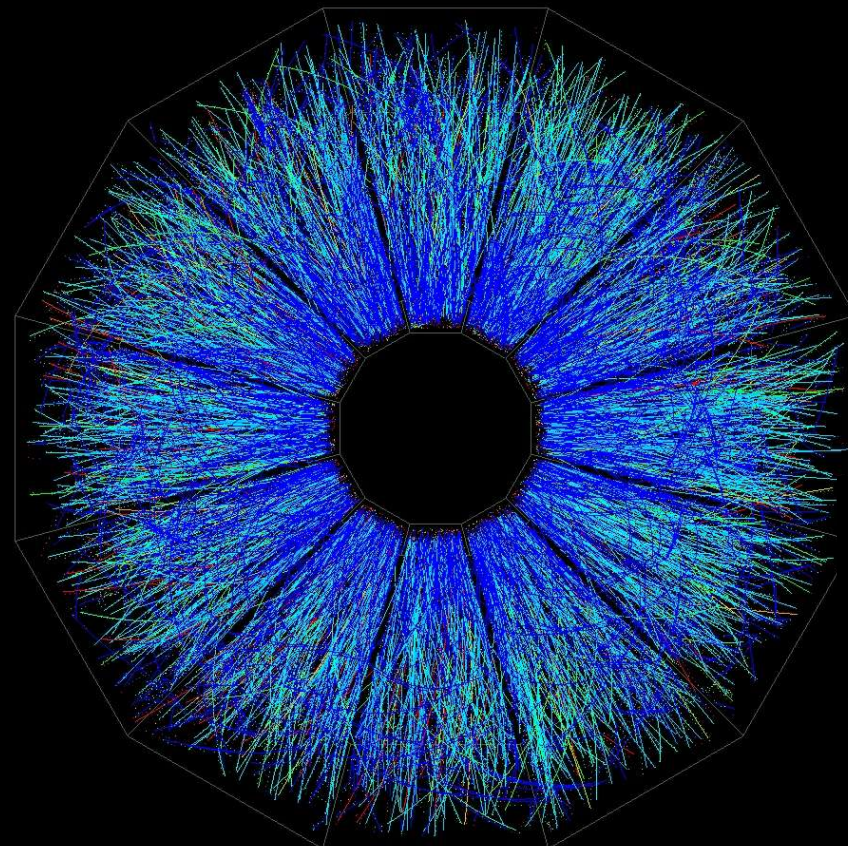
Au on Au Event at CM Energy \sim 130 A-GeV



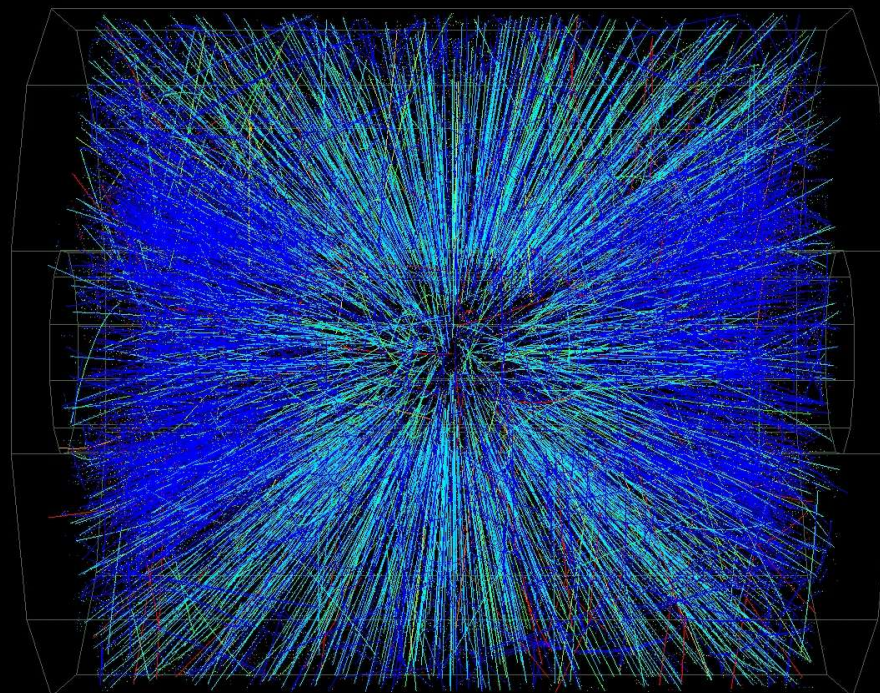
Mid-central Event



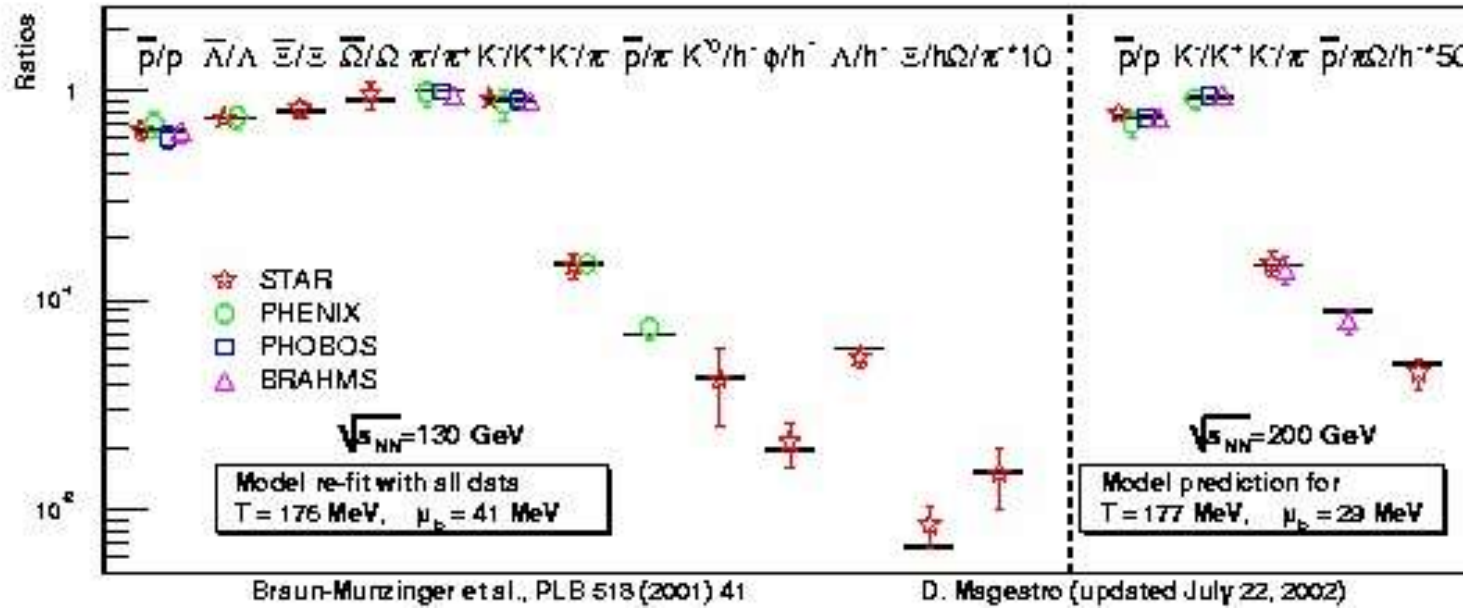
Au on Au Event at CM Energy \sim 130 A-GeV



Central Event



Beschreibung in einem vollständigen thermischen Modell beim RHIC



Bestimmung der Temperatur und Dichte zur Zeit der Teilchenproduktion

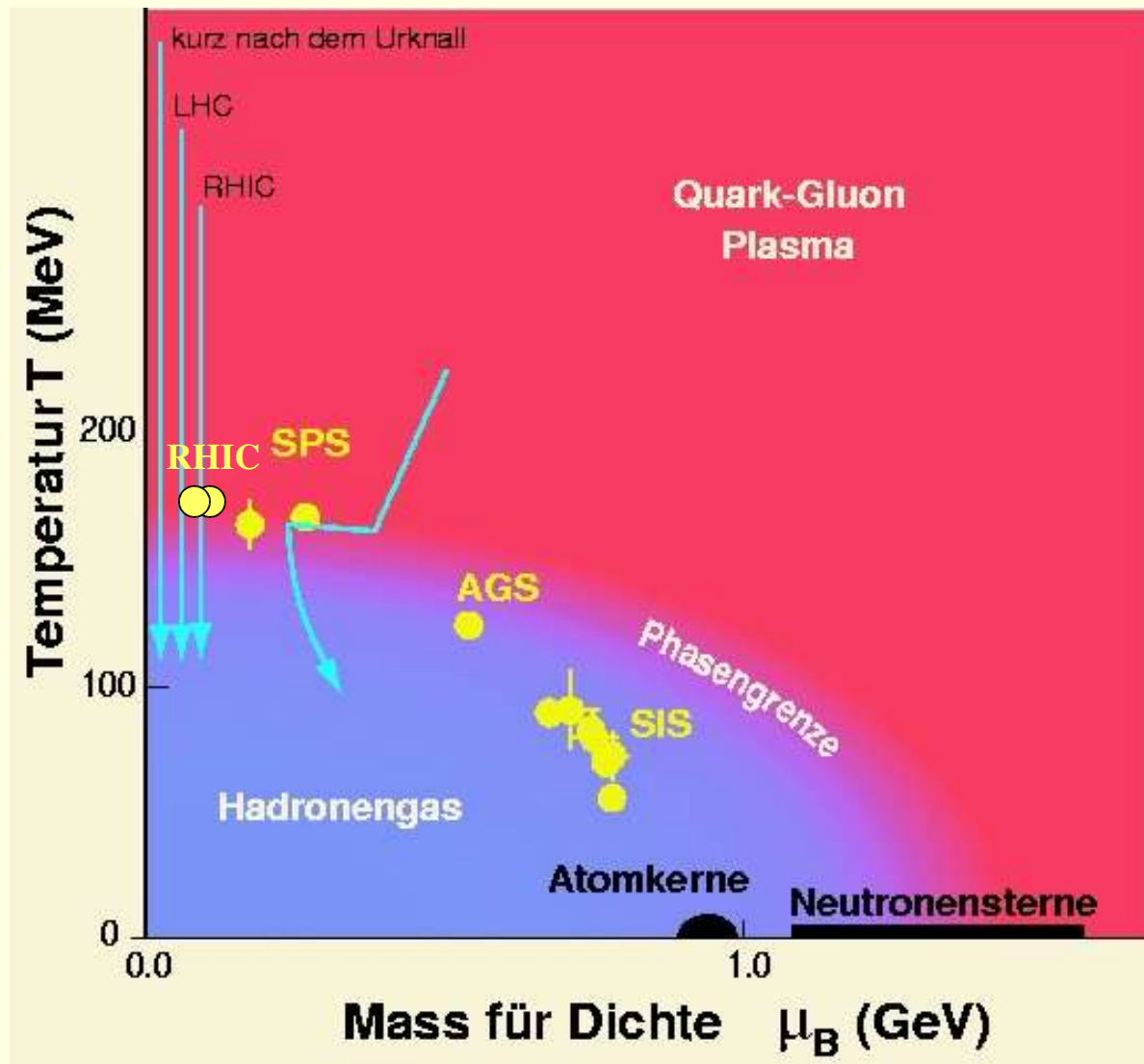
$$T = 175 \text{ MeV}$$

$$\mu_B = 41 \text{ MeV}$$

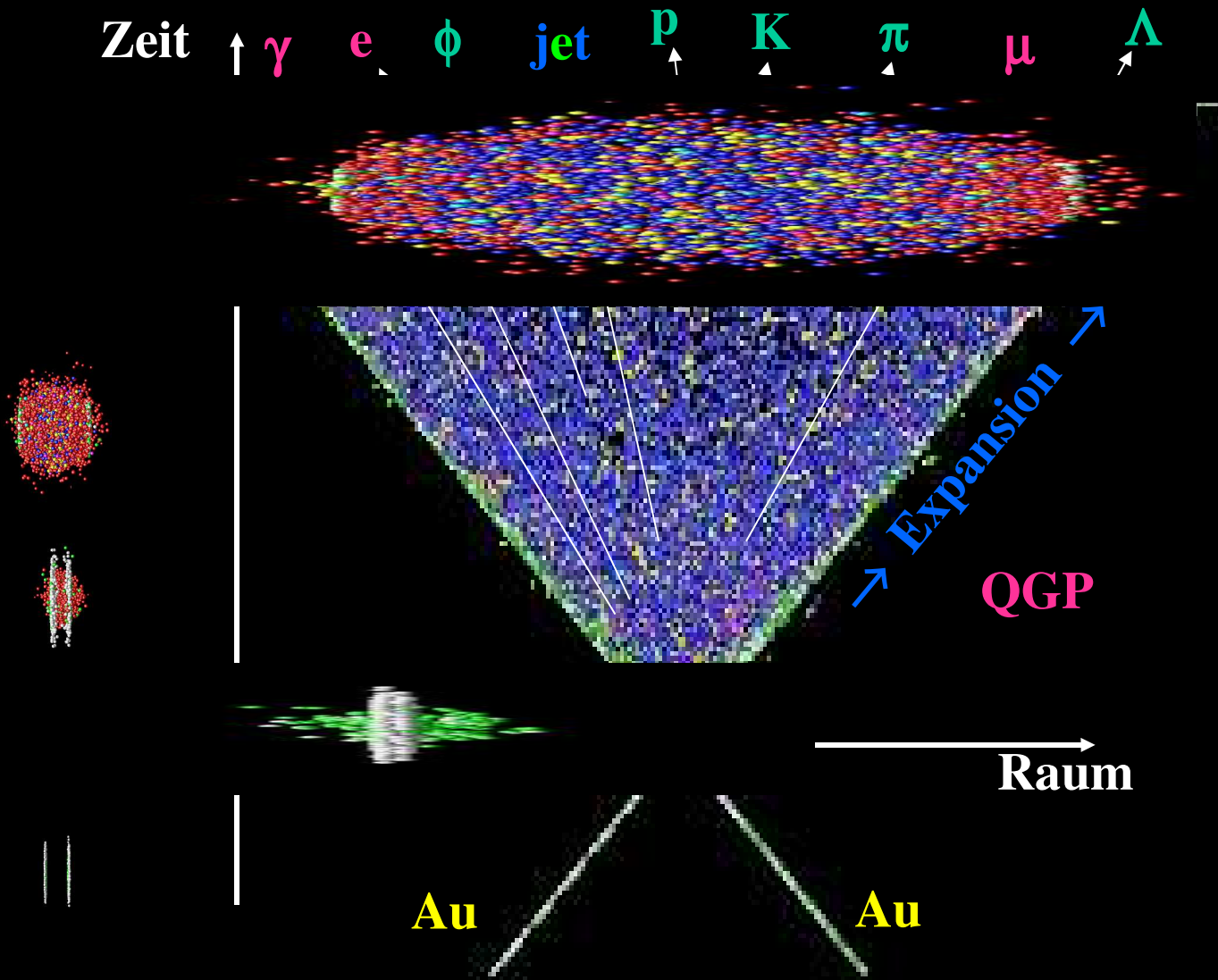
$$T = 177 \text{ MeV}$$

$$\mu_B = 29 \text{ MeV}$$

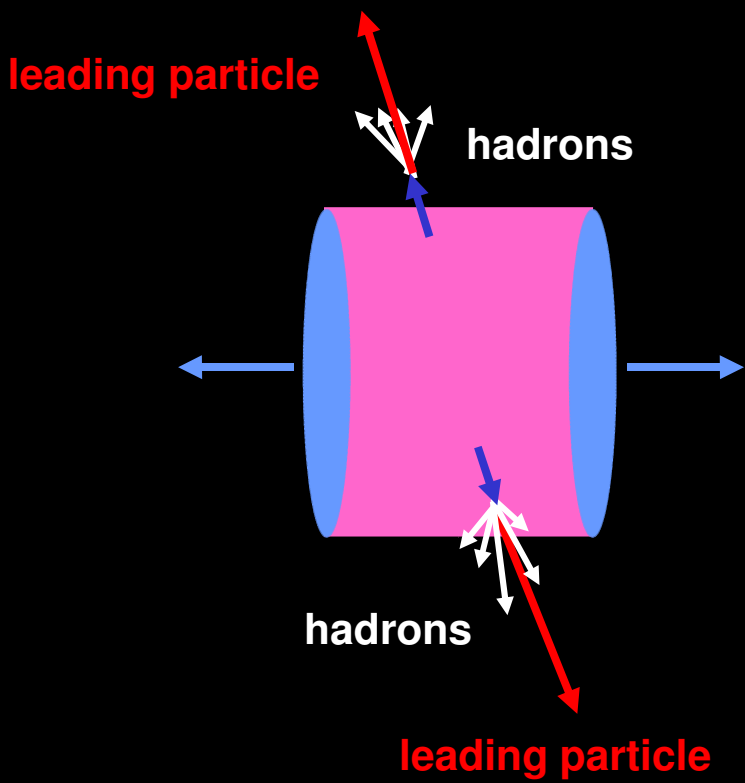
Phasendiagramm



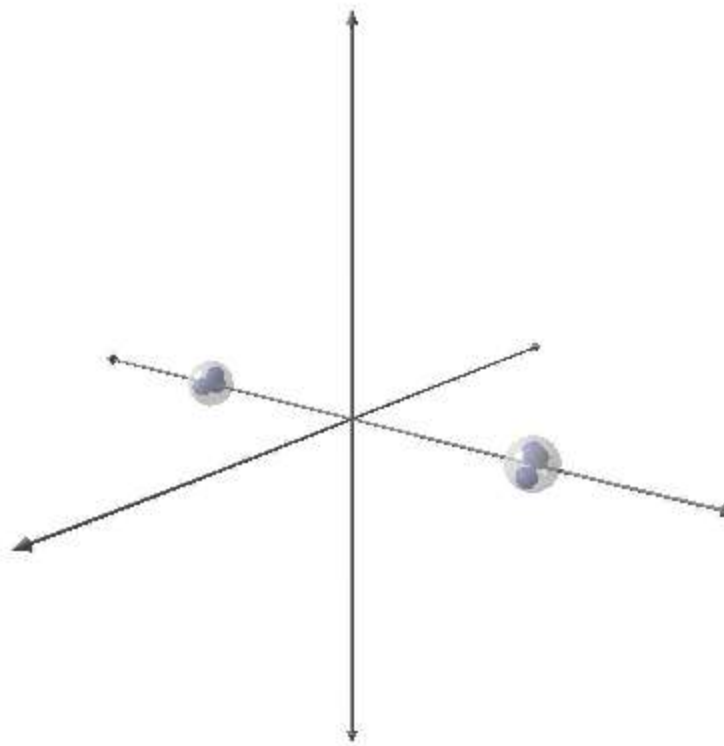
Zeitliche Entwicklung des Feuerballs



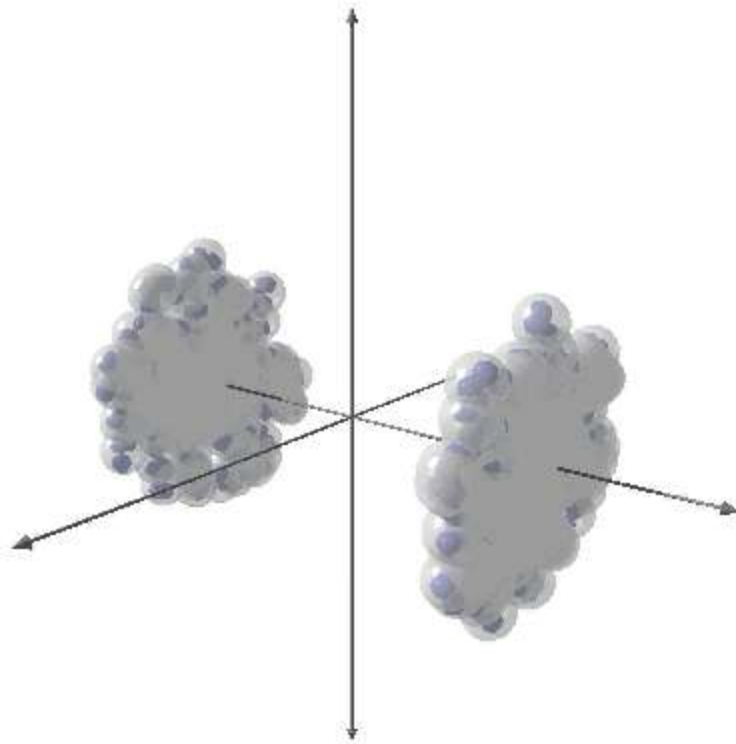
Jets in hoch-dichter Materie



Kein Energieverlust im Vakuum

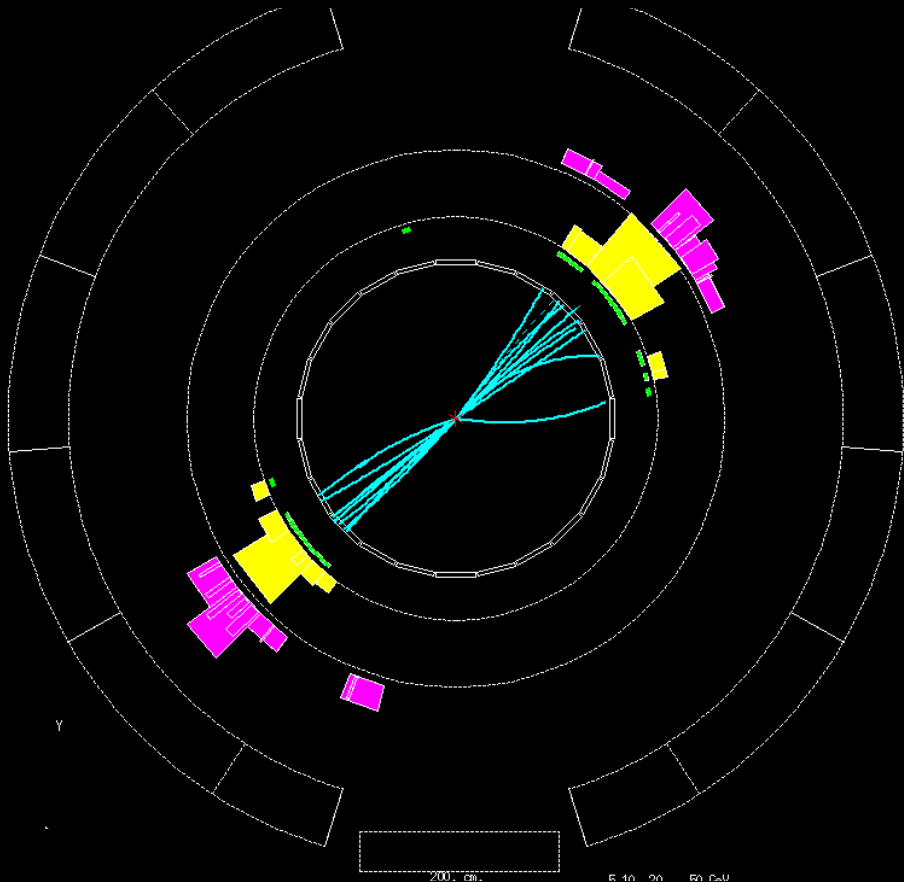


Energieverlust in dichter Materie

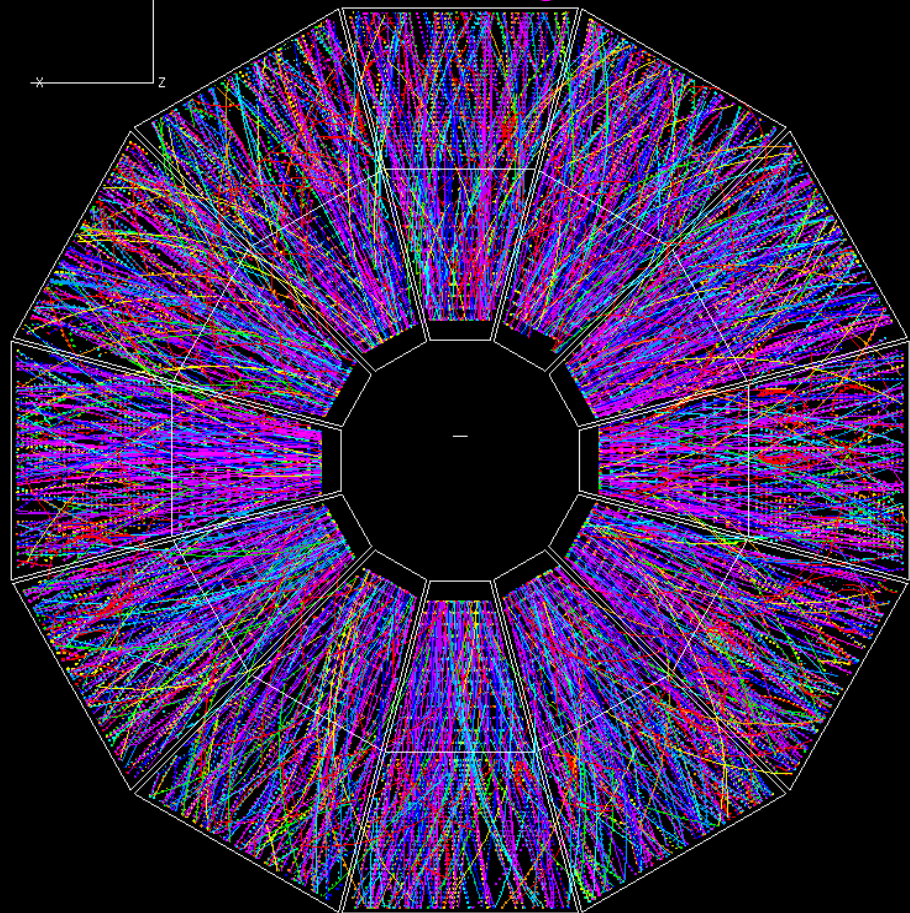


Jets at RHIC

Jet event in e^+e^- collision

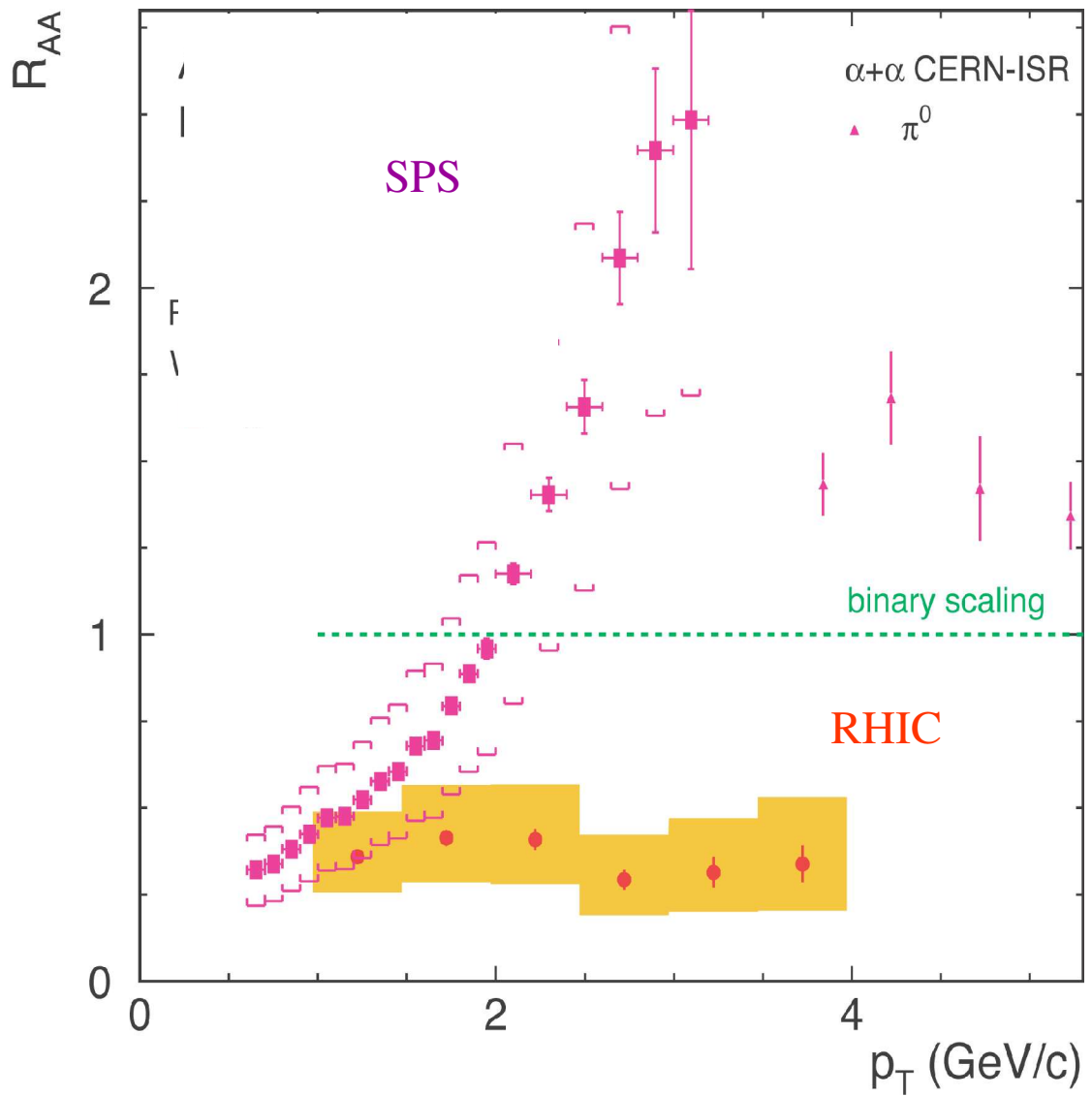
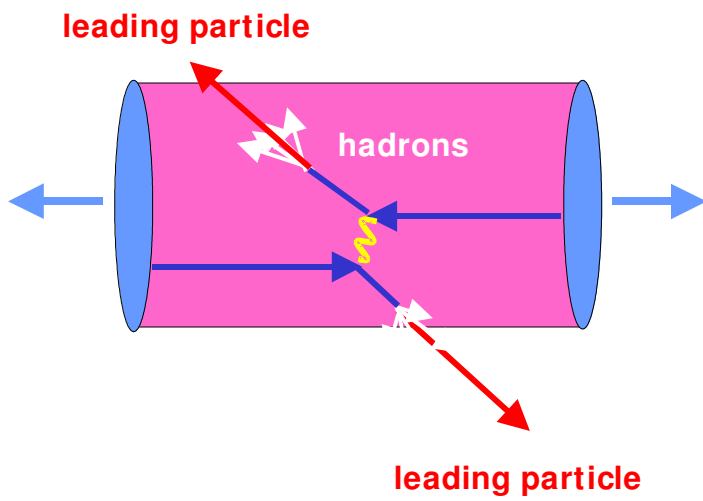


STAR Au+Au (jet?) event



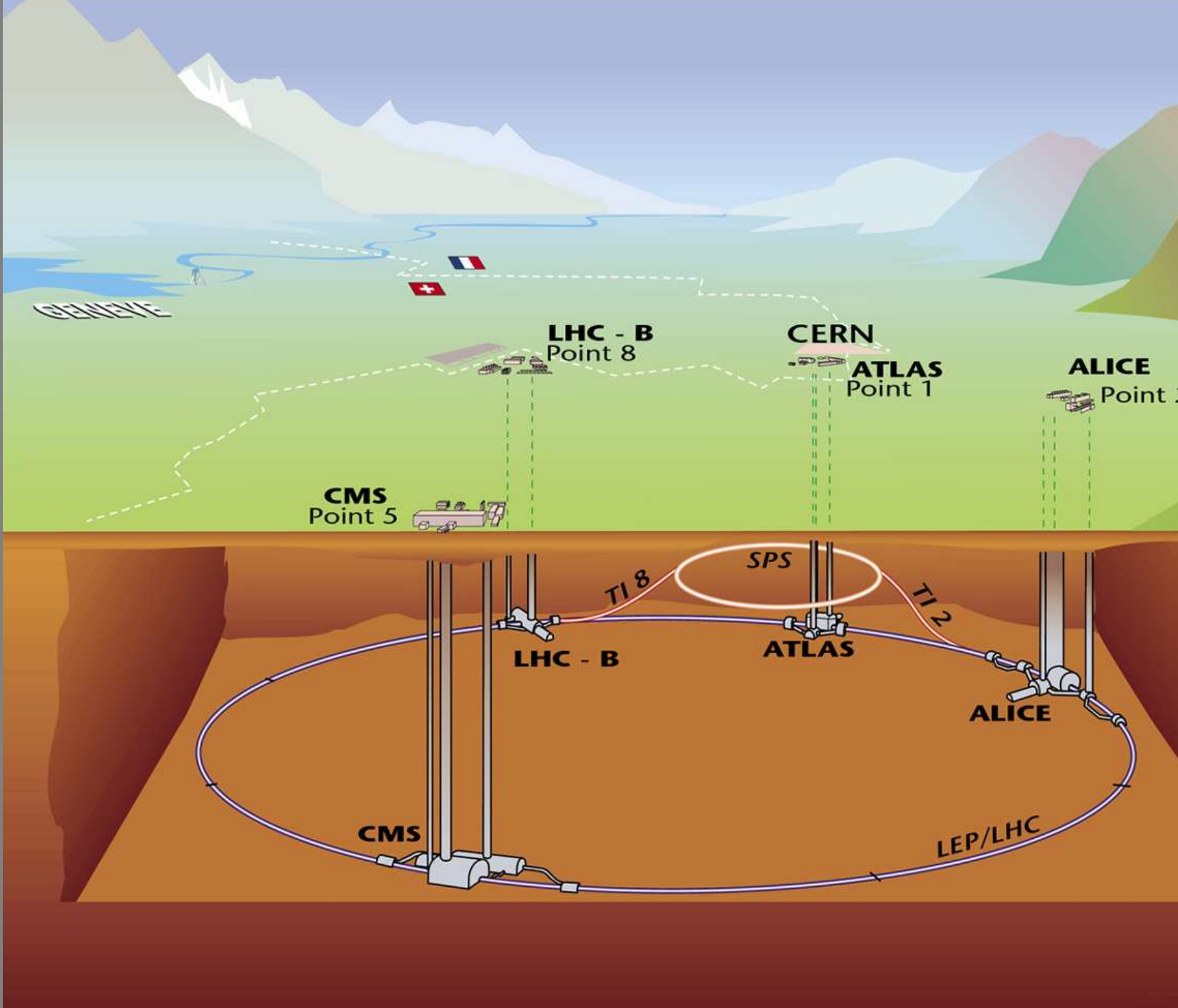
Can we see jets in high energy Au+Au?

Suppression of Hadron Production



Energieverlust und Gluon-Dichte

- 5-fache Unterdrueckung von Jets in zentralen Au-Au Stoessen
- Modell: Energieverlust in dichter Gluon-Materie
- Quantitativ: Daten implizieren Gluon-Dichte von $7/\text{fm}^3$
- Feuerball-Temperatur $T > 500 \text{ MeV}$
- Feuerball ist QGP!



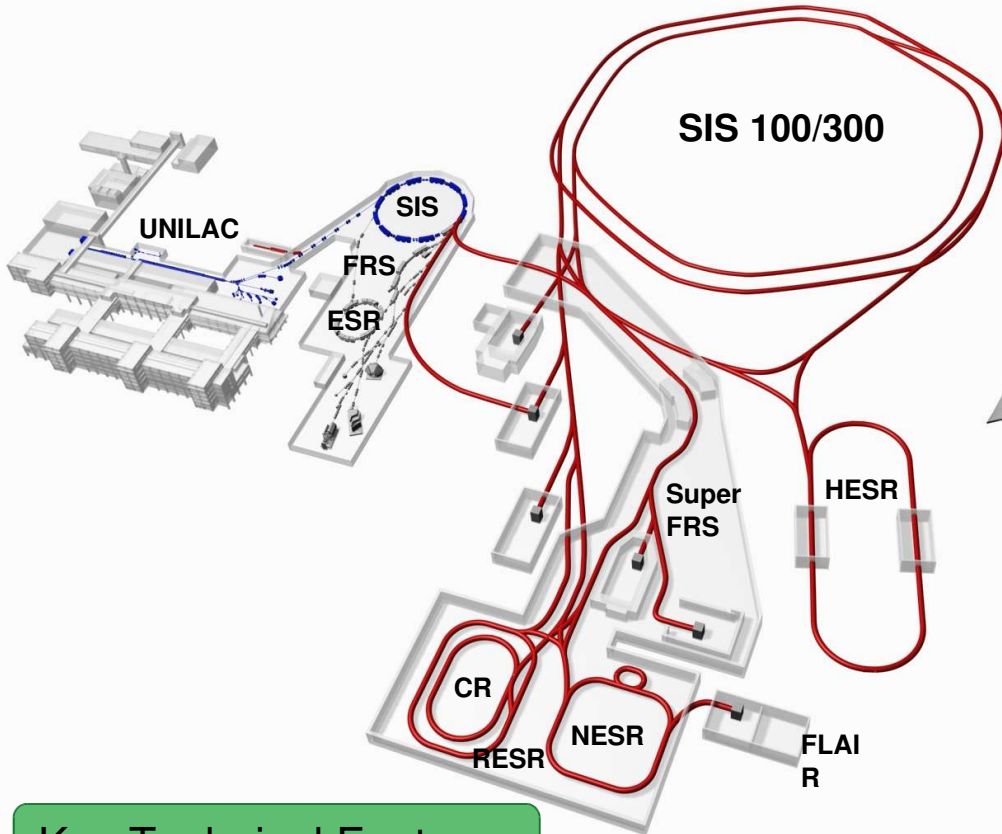
ALICE beim LHC





The International FAIR Project at GSI

Facility Characteristics



Key Technical Features

- Cooled beams
- Rapidly cycling superconducting magnets

Primary Beams

- $10^{12}/\text{s}$; 1.5-2 GeV/u; $^{238}\text{U}^{28+}$
- Factor 100-1000 over present in intensity
- $2(4)\times 10^{13}/\text{s}$ 30 GeV protons
- $10^{10}/\text{s}$ $^{238}\text{U}^{73+}$ up to 35 GeV/u
- up to 90 GeV protons

Secondary Beams

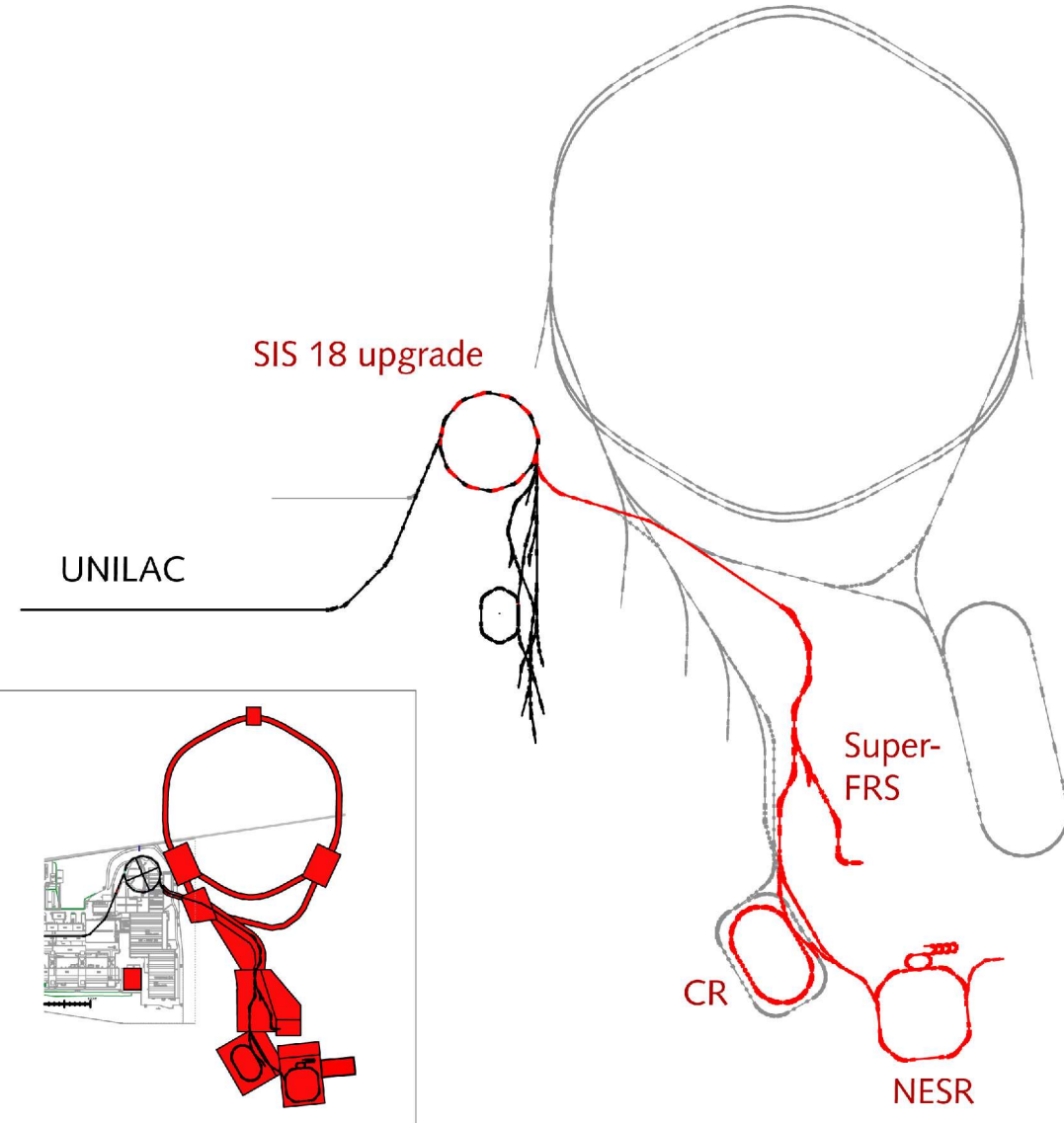
- Broad range of radioactive beams up to 1.5 - 2 GeV/u; up to factor 10 000 in intensity over present
- Antiprotons 3 - 30 GeV

Storage and Cooler Rings

- Radioactive beams
- $e^- - A$ (or Antiproton-A) collider
- 10^{11} stored and cooled 0.8 - 14.5 GeV antiprotons

THE END

Stage 1



Civil Construction

- Ringtunnel for double ring synchrotron incl. technical buildings
- Buildings housing the SFRS, the CR and NESR plus nuclear structure and atomic physics experiments
- Office building

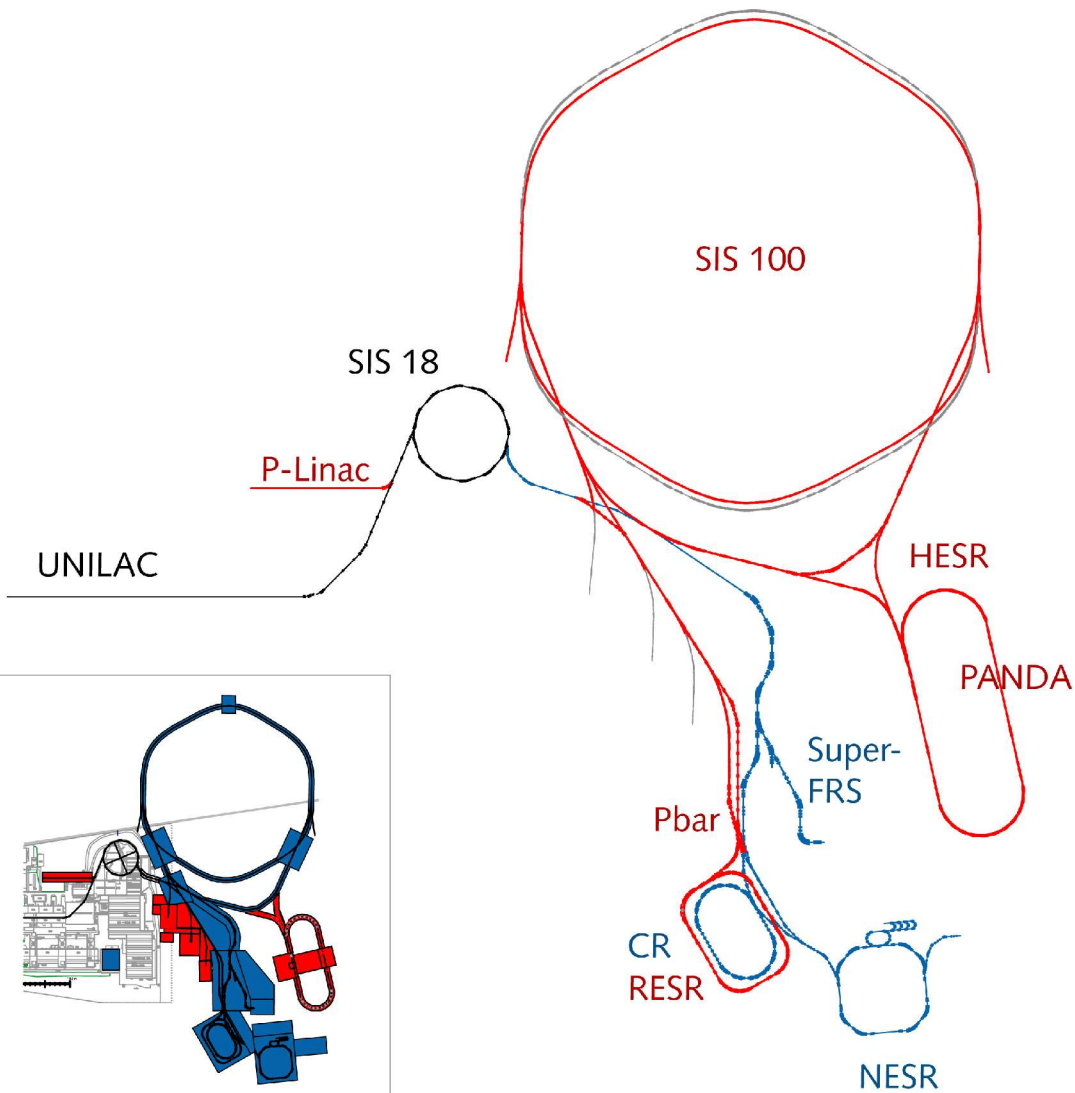
Accelerator

- $2 \times 10^{11}/\text{puls} \text{ U}^{28+}$ at 200 AMeV
- $4 \times 10^{10}/\text{puls} \text{ U}^{73+}$ at 1000 AMeV
- 4 Hz up to 12 Tm; 1 Hz up to 18 Tm
- Bunch compression to 70 ns

Research

- Nuclear structure and nuclear astrophysics (gain factor in intensities for radioactive secondary beams: ~ 100)
- Plasma physics at 'old' facility (gain factor in power density: ~ 200)
- Atomic physics studies with highly charged/radioactive ion beams)

Stage 2



Civil Construction (completed)

- p linac building
- HESR building
- Buildings housing nuclear collision, plasma physics and atomic physics experiments

Accelerator

- $1 \times 10^{12}/\text{puls}$ U^{28+} at 2,7 AGeV
- $1 \times 10^{11}/\text{puls}$ U^{73+} at 8,3 AGeV (Ne^{10+} bis 14 AGeV)
- Bunch compression to 50 ns
- $2,5 \times 10^{13}/\text{puls}$ protons up to 29 GeV
- up to 10^{11} antiprotons accumulated, stored and cooled in the HESR up to 15 GeV
- low (down to zero) energy antiprotons at NESR and HITRAP

Research

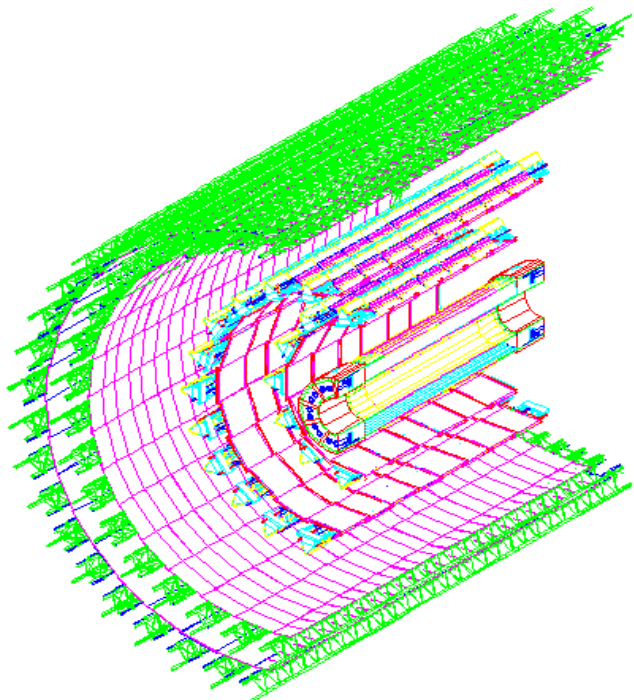
- Nuclear structure and nuclear astrophysics (full gain factor in intensities for radioactive secondary beams: ~ 1000 - 10000)
- QCD studies with protons and antiprotons
- precision studies with antiproton beams addressing fundamental symmetries and interactions



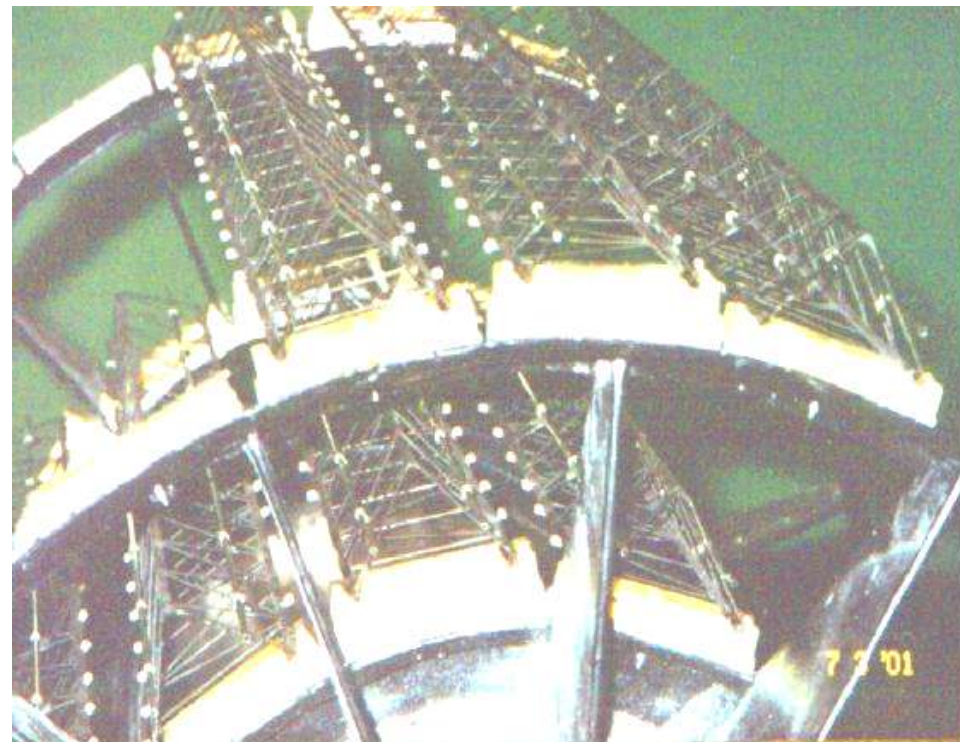
ready to move in

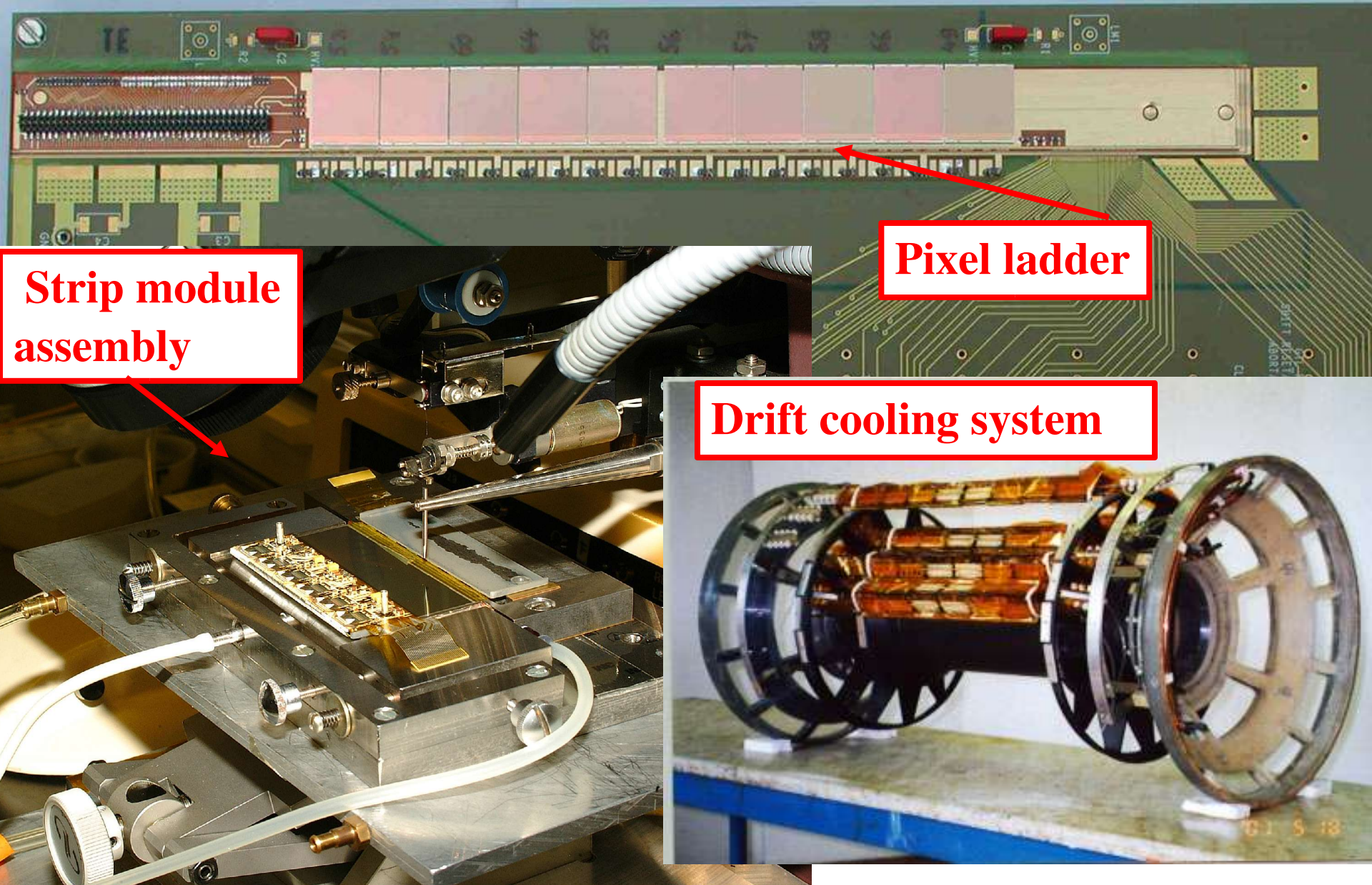
Inner Tracking System

Lay-out des inneren Detektors



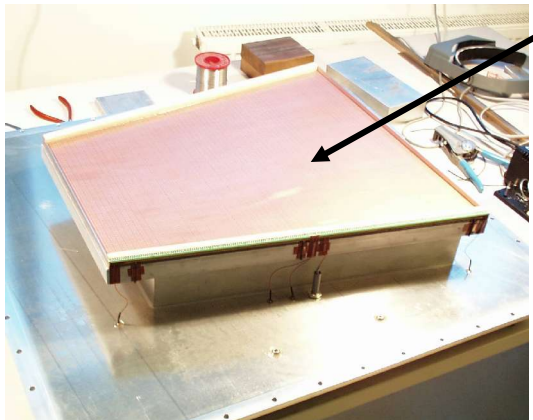
Si Detektor Prototyp





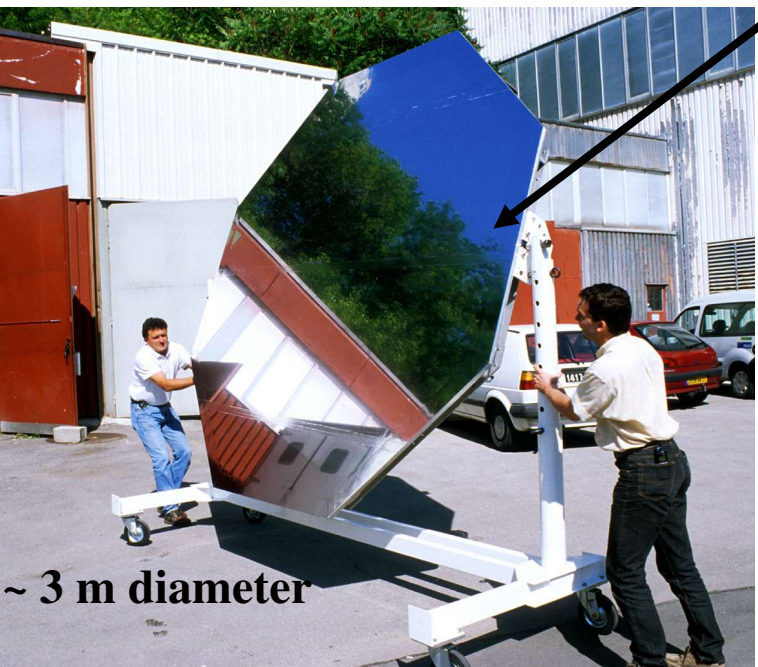
System testing and setting up of series production

Time Projection Chamber

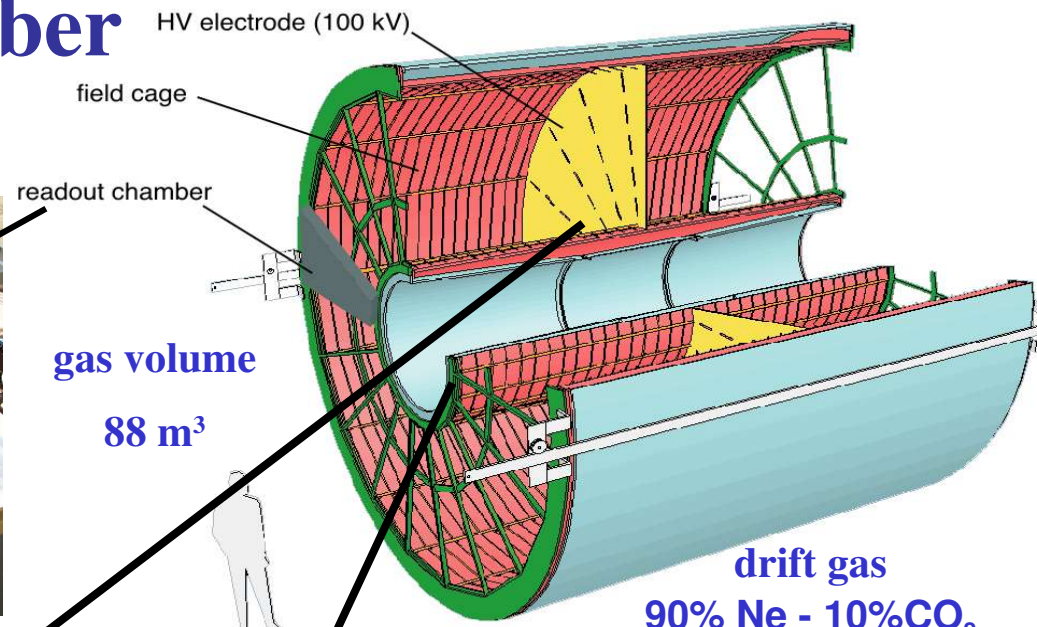


Central Electrode Prototype

25 μm aluminized Mylar on Al frame



~ 3 m diameter



Field Cage Inner Vessel



Time Projection Chamber

largest ever: 88 m^3 ,
channels

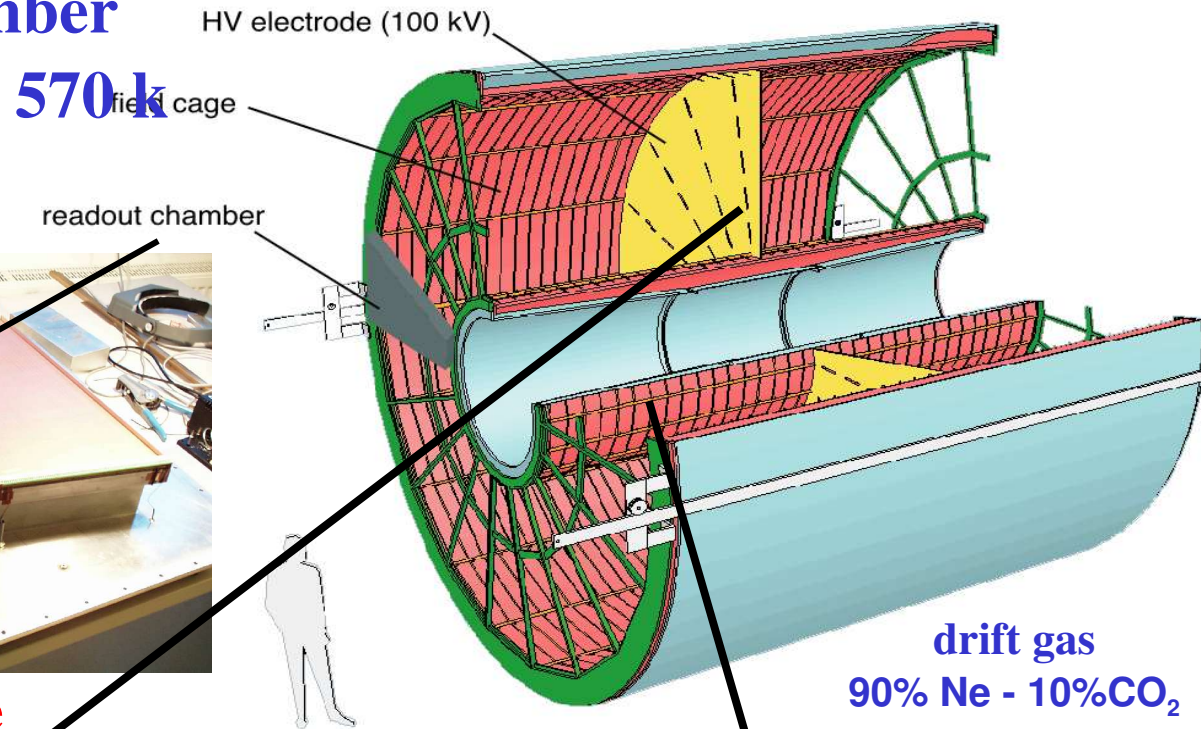
for tracking
and PID via
 dE/dx

$$-0.9 < \eta < 0.9$$

Central Electrode Prototype
 $25 \mu\text{m}$ aluminized Mylar on Al frame



$\sim 3 \text{ m}$ diameter



Field Cage Inner Vessel

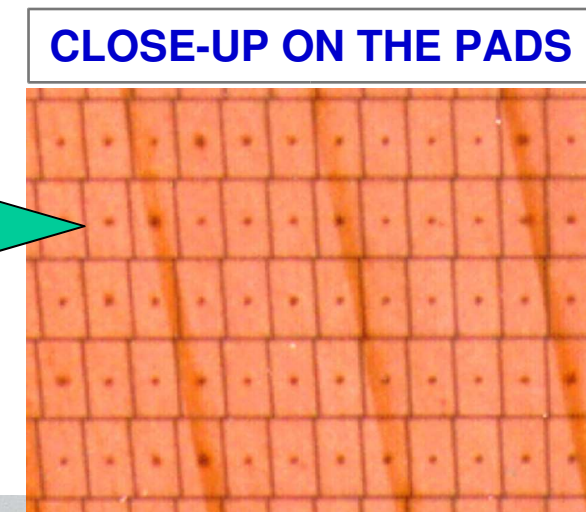
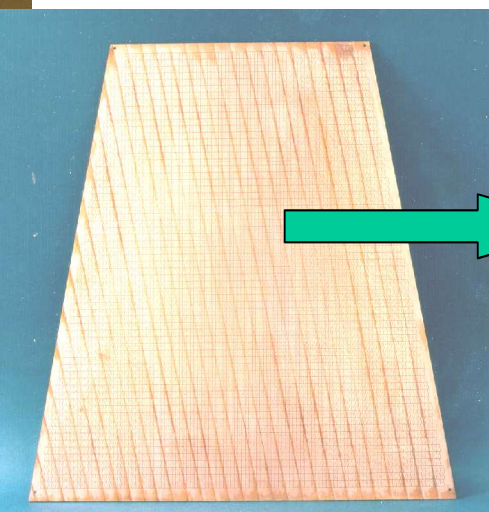
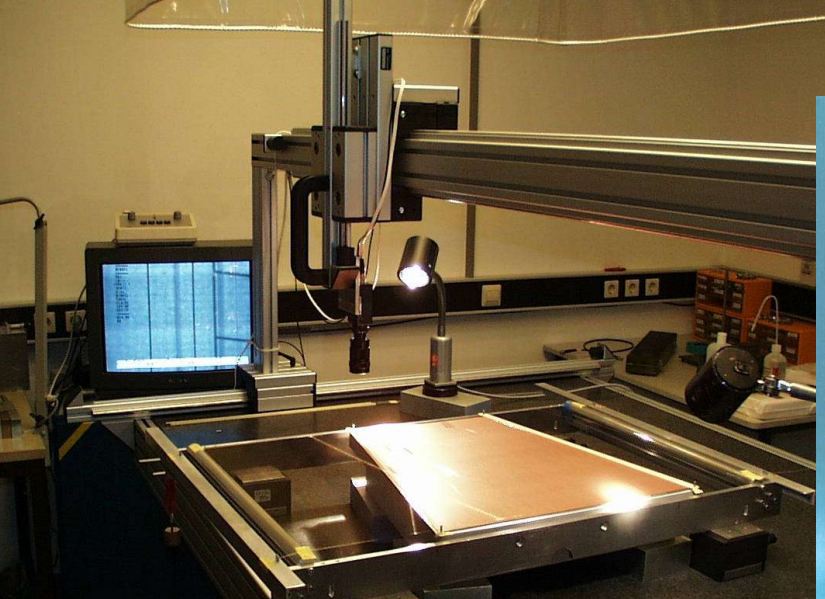


The ALICE TPC becomes real

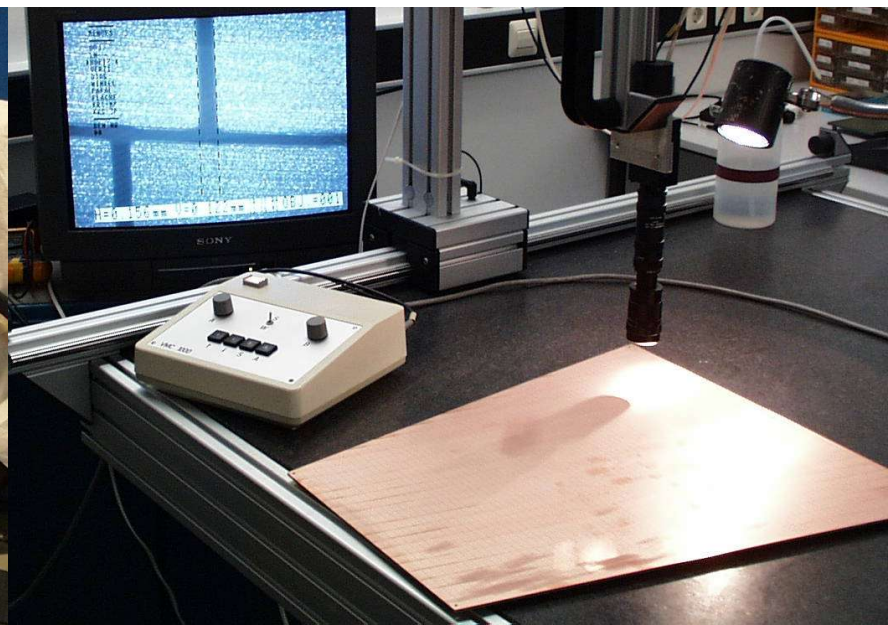
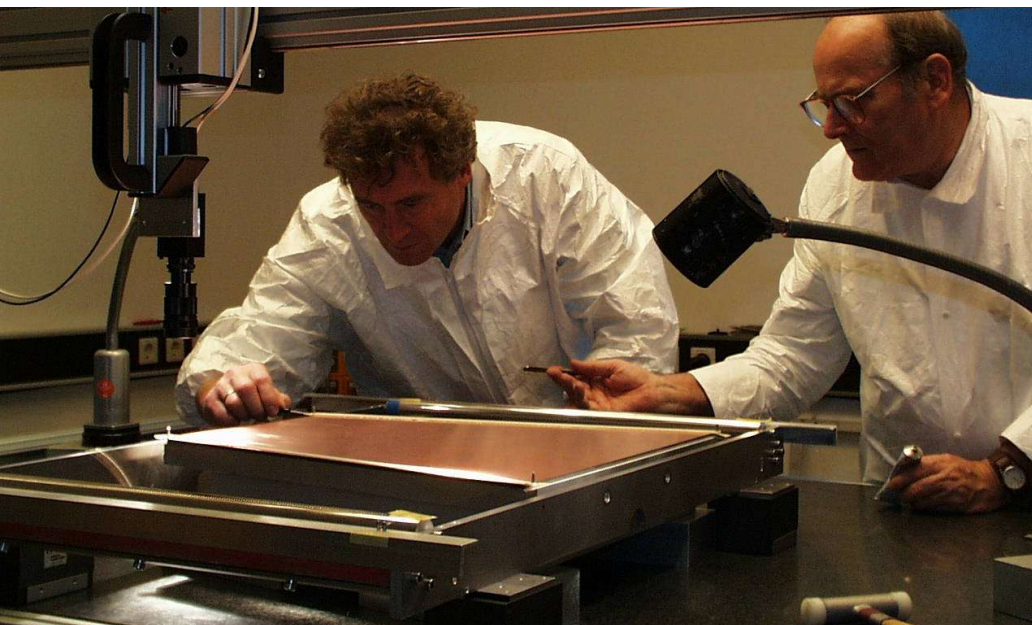
(outer field cage and end plates)



Pad Plane: 5504 pads ($4 \times 7.5 \text{ mm}^2$)



Construction of the TPC readout chambers: more than half of the inner ones already completed!



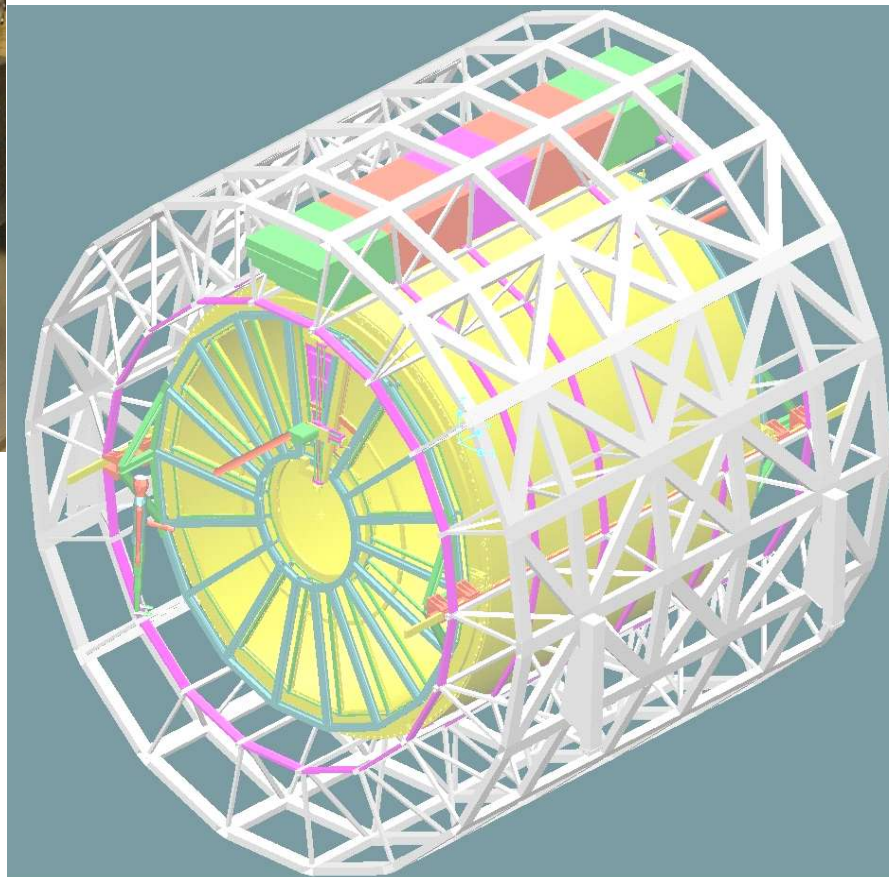
Transition Radiation Detector

Full scale prototype

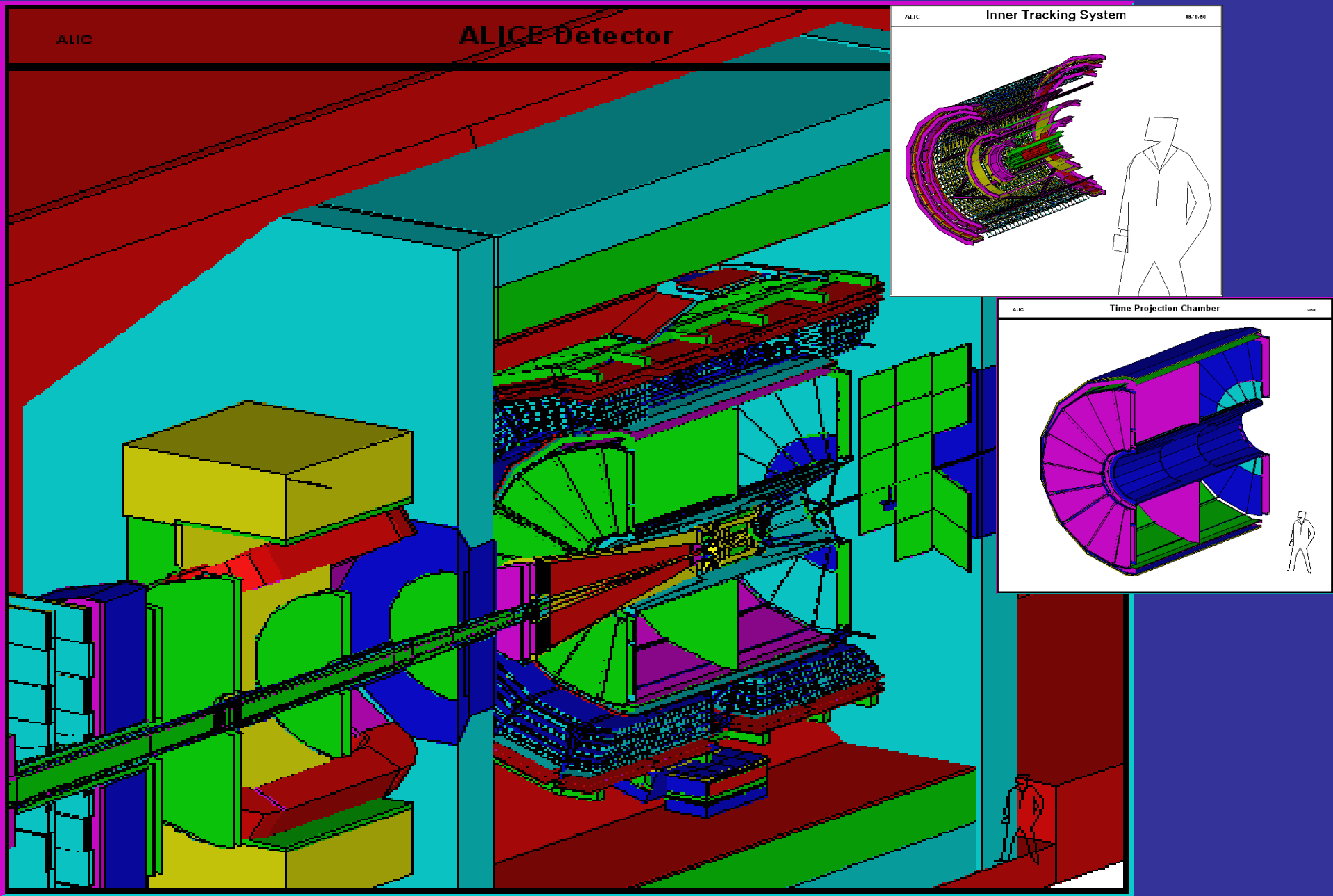


largest chamber: 1200 x 1600 mm

supermodule in space frame



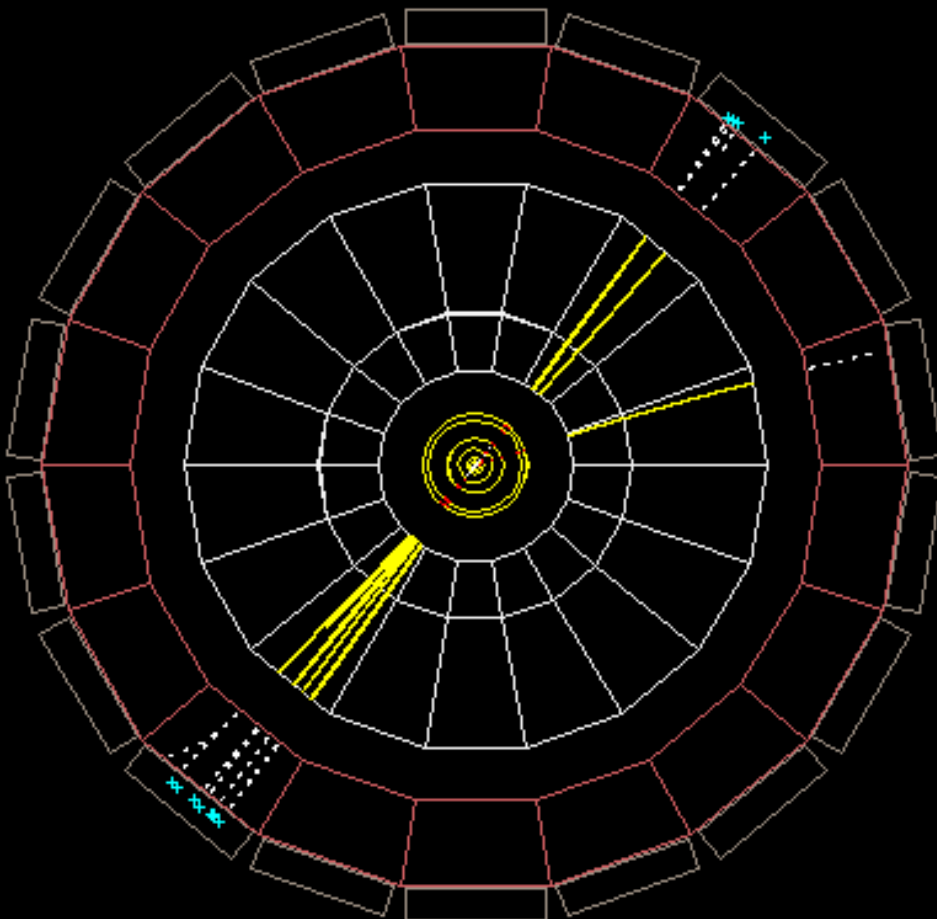
Computer representation of ALICE



Next
Previous
Top View
Side View
Front View
All Views
OpenGL
X3D

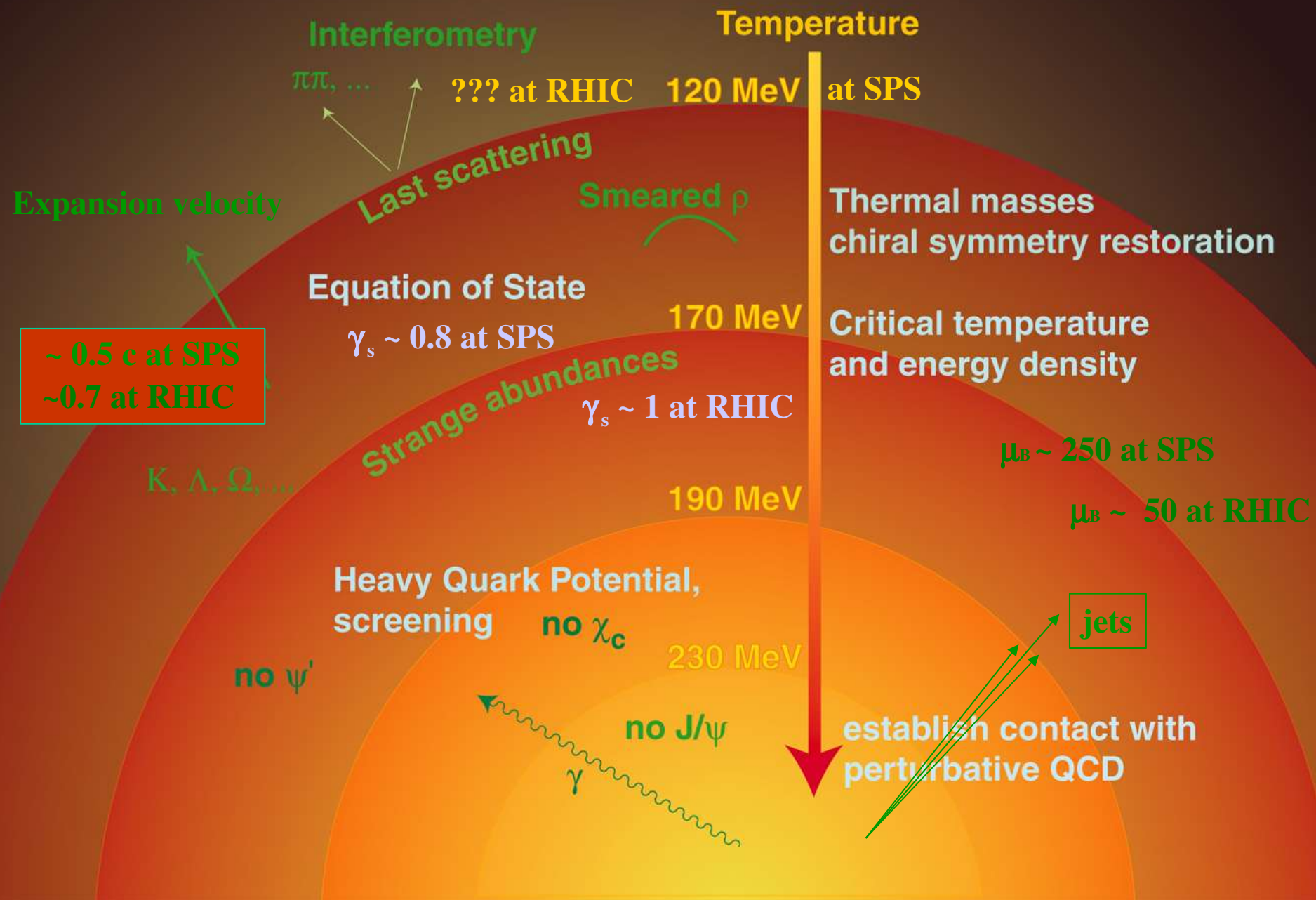

0 0.2 0.4 0.6 0.8 1 1.2 1.4 1.6 1.8 Etacut

Alice event: 1, Run:0
Nparticles = 906 Nhits = 56062

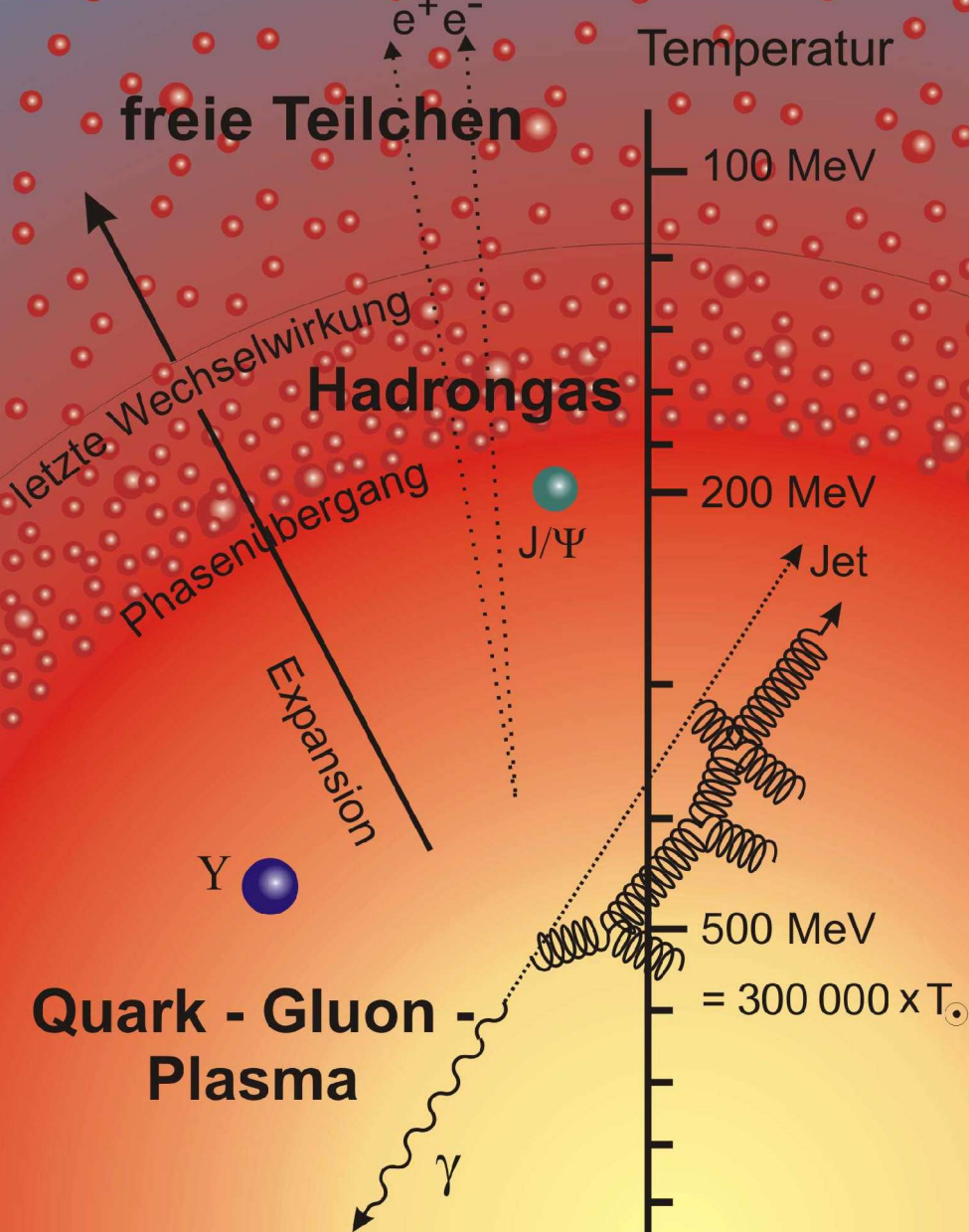


Pick
Zoom 0
UnZoom

Observables – Lattice Thermodynamics

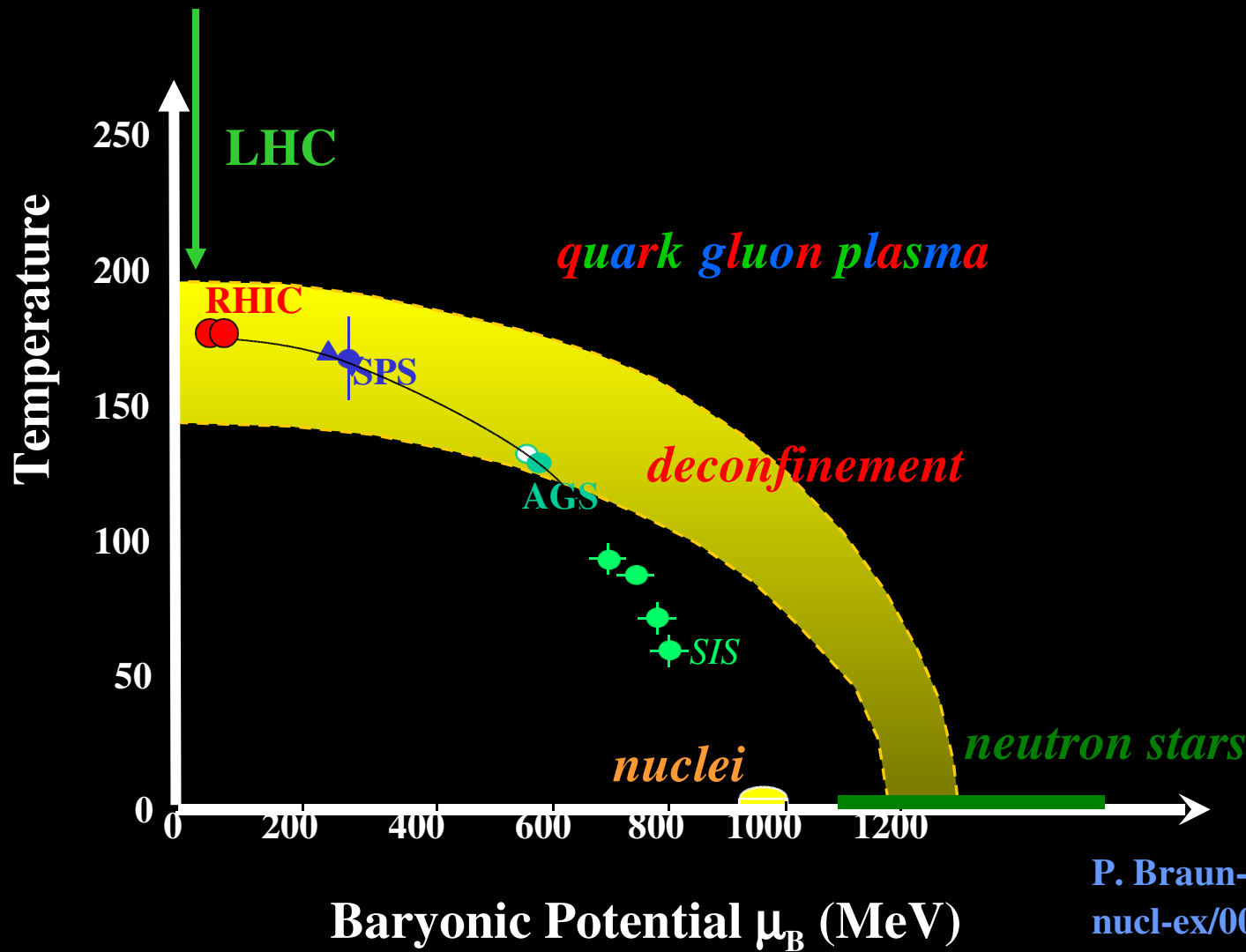


Mini - Urknall am LHC

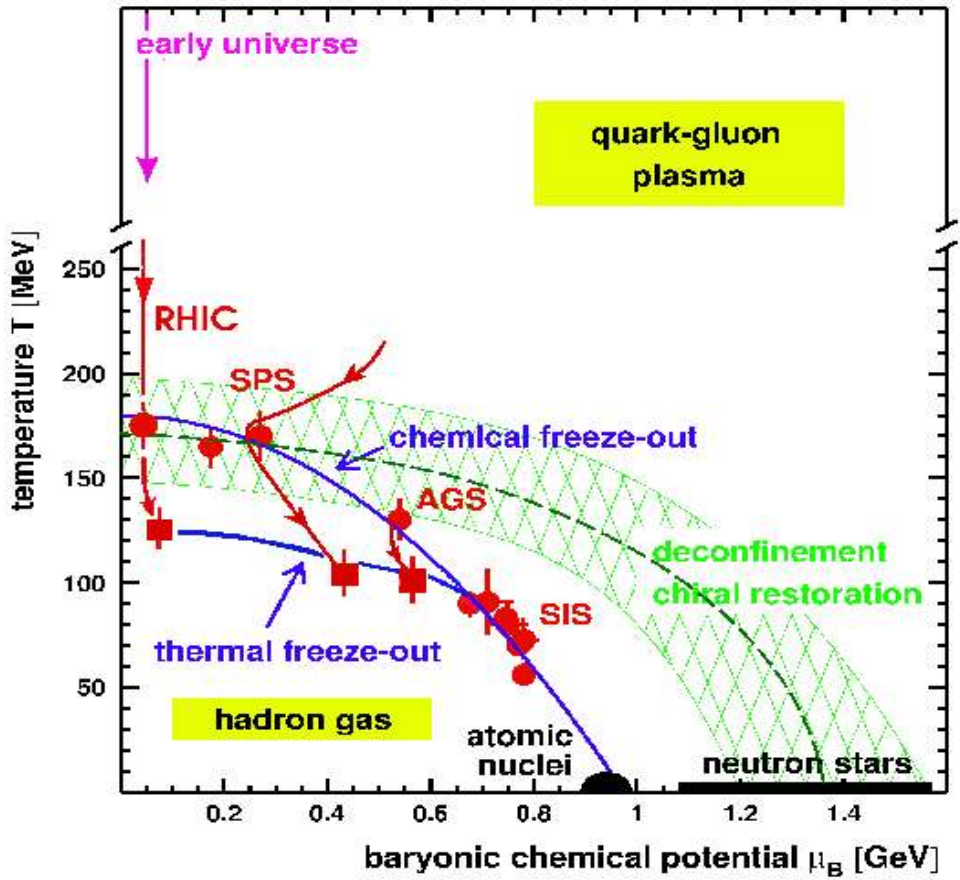


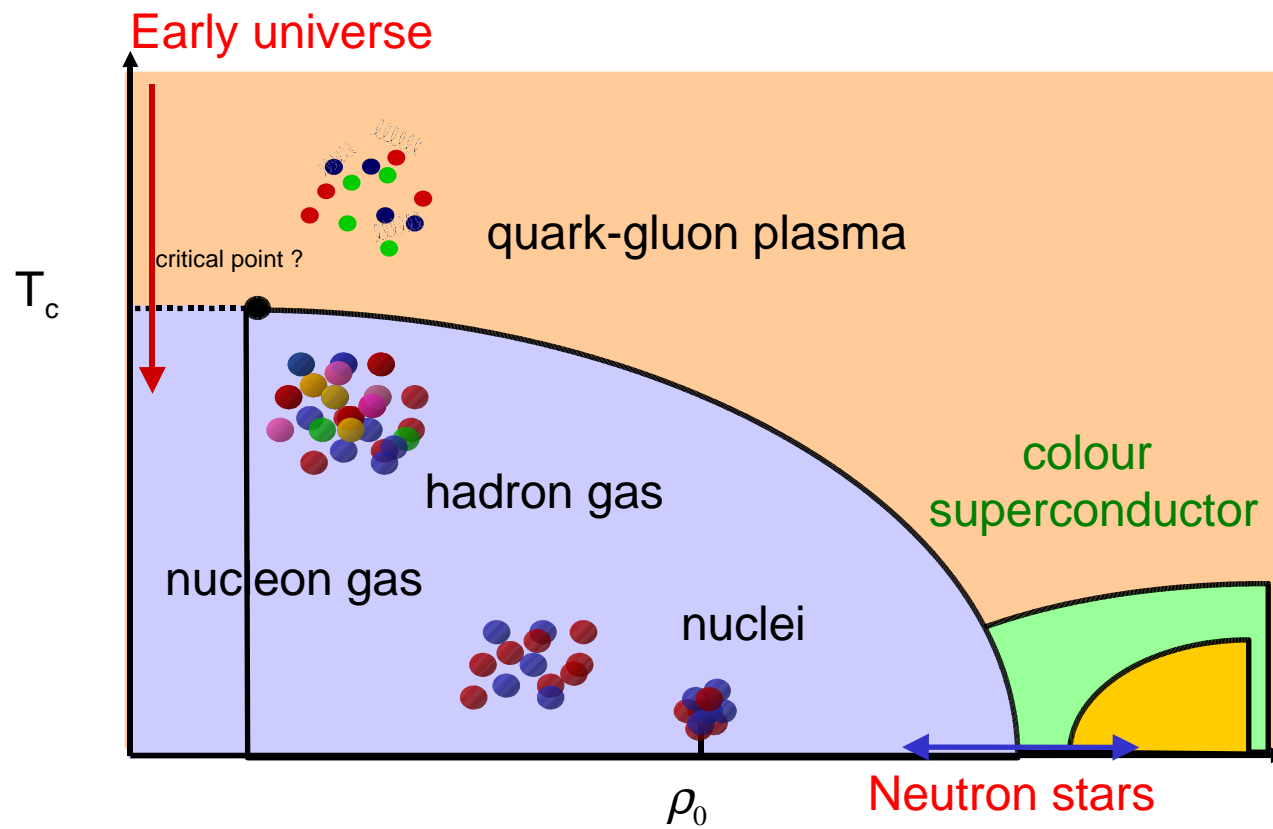
Phase Diagram

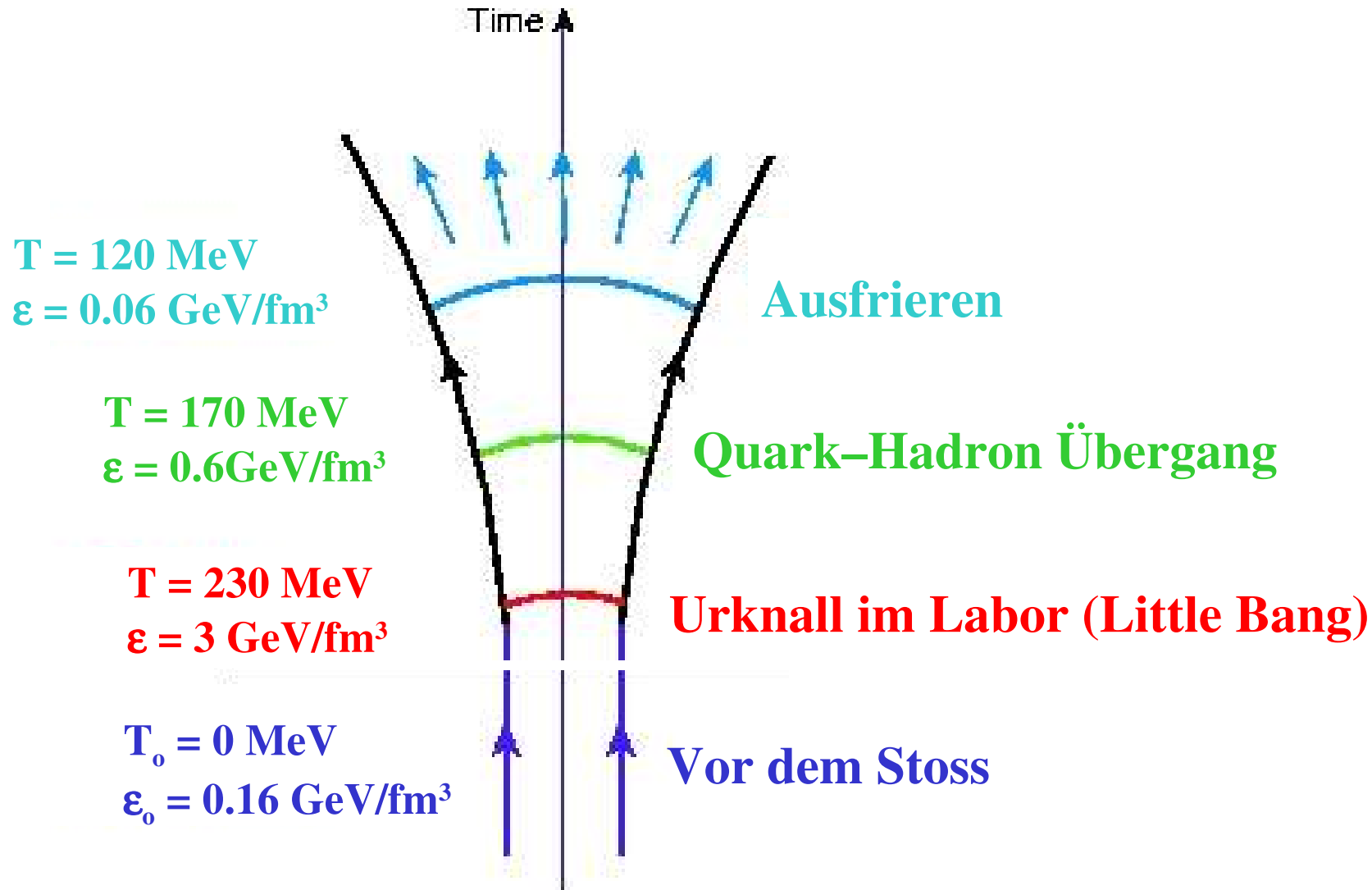
early universe



P. Braun-Munzinger
nucl-ex/0007021







Reise zum Urknall



Quark-Gluon

Plasma

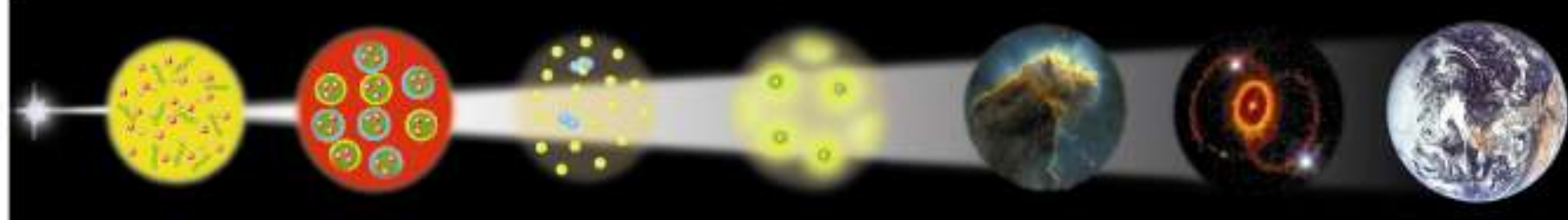
Nucleons

Nuclei

Atoms

Today

Big
Bang



10^{-6} sec

10^{-4} sec

3 min

$> 10^{12}$ K

10^{12} K

10^9 K

> 150 MeV

100 MeV

100 KeV

- Strahlung
- Teilchen
- W^+ Schwere Teilchen,
 W^- die die schwache
Kraft vermitteln
- Quark
- Anti-Quark
- Elektron
- Positron (Anti-Elektron)
- Proton
- Neutron
- Meson
- Wasserstoff
- Deuterium
- He
- Lithium

